

République Algérienne Démocratique et Populaire
Ministère de l'Enseignement Supérieur et de la Recherche Scientifique
École Nationale Polytechnique
Laboratoire de Commande des Processus



Département d'Automatique

Mémoire de projet de fin d'études

En vue de l'obtention du diplôme d'Ingénieur d'État en Automatique

Modélisation et commande d'une station de dessalement par osmose inverse

SAMAI Amir et SAADALLAH Nasr Eddine

Sous la supervision de **Pr. BOUCHERIT Mohamed seghir**

et **Dr. CHAKIR Messaoud**

Présenté et soutenu publiquement le 03/07/2024 devant le jury composé de :

President:	Pr. BOUDANA Djamel	ENP
Examineur:	Pr. TADJINE Mohamed	ENP
Promoteurs :	Dr. CHAKIR Messoud et Pr. BOUCHERIT Mohamed seghir	ENP

République Algérienne Démocratique et Populaire
Ministère de l'Enseignement Supérieur et de la Recherche Scientifique
École Nationale Polytechnique
Laboratoire de Commande des Processus



Département d'Automatique

Mémoire de projet de fin d'études

En vue de l'obtention du diplôme d'Ingénieur d'État en Automatique

Modélisation et commande d'une station de dessalement par osmose inverse

SAMAI Amir et SAADALLAH Nasr Eddine

Sous la supervision de **Pr. BOUCHERIT Mohamed seghir**

et **Dr. CHAKIR Messaoud**

Présenté et soutenu publiquement le 03/07/2024 devant le jury composé de :

President:	Pr. BOUDANA Djamel	ENP
Examineur:	Pr. TADJINE Mohamed	ENP
Promoteurs :	Dr. CHAKIR Messoud et Pr. BOUCHERIT Mohamed seghir	ENP

ملخص

تقدم هذه الأطروحة استكشافاً متعمقاً لجوانب أساسية في تحلية المياه بالتناضح العكسي : نمذجة العمليات وتحسين التحكم في النظام. حيث استخدمنا تقنية التحكم التنبئي النموذجي، بدأنا بتحليل مفصل لآليات التناضح العكسي، حيث قمنا بدراسة المعادلات الأساسية والمفاهيم الرئيسية مثل رفض الغشاء، ومعدل الاسترداد، وتوازن المواد. أظهرت المحاكاة لهذه النماذج أداء النظام. بعد ذلك، قمنا بتطبيق تقنيات تحسين التحكم لتحسين أداء النظام. أظهرت المحاكاة أنه يمكن تعديل معاملات التحكم للحفاظ على جودة المياه المصفاة وإدارة الاضطرابات مثل انسداد الأغشية. تقدم هذه الدراسة نهجاً متكاملاً يعزز الكفاءة التشغيلية وإدارة الموارد المائية، مما يوفر آفاقاً واعدة لإدارة المياه العذبة المستدامة.

كلمات مفتاحية : تحلية المياه، التناضح العكسي، غشاء، نموذج، تحكم، انسداد، التحكم التنبئي المثل، أداء، متانة.

Abstract

This thesis provides an in-depth exploration of two essential aspects of reverse osmosis desalination: process modeling and the application of Model Predictive Control (MPC). We began with a detailed analysis of reverse osmosis mechanisms, examining fundamental equations and key concepts such as membrane rejection, recovery rate, and material balances. Simulation of these models illustrated system performance. Subsequently, we applied MPC to optimize system control. Simulations demonstrated that MPC could adjust control parameters to maintain permeate quality and manage disturbances such as membrane fouling. This work presents an integrated approach that enhances operational efficiency and water resource management, offering promising prospects for sustainable freshwater management.

Keywords: Desalination, reverse osmosis, membrane, model, control, fouling, optimal predictive control, performance, robustness.

Résumé

Ce mémoire explore en profondeur deux aspects essentiels de la station de dessalement par osmose inverse : la modélisation du procédé et l'application de la commande prédictive optimale (MPC). Nous avons commencé par une analyse détaillée des mécanismes de l'osmose inverse, en examinant les équations fondamentales et les concepts clés tels que le rejet de la membrane, le taux de récupération et les bilans de matière. La simulation de ces modèles a permis d'illustrer les performances du système. Ensuite, nous avons appliqué la MPC pour optimiser le contrôle du système. Les simulations ont montré que la MPC pouvait ajuster les paramètres de contrôle pour maintenir la qualité du perméat et gérer les perturbations telles que l'encrassement des membranes. Ce travail propose une approche intégrée qui améliore l'efficacité opérationnelle et la gestion des ressources en eau, offrant des perspectives prometteuses pour une gestion durable de l'eau douce.

Mots-clés: dessalement, osmose inverse, membrane ,modèle, commande, encrassement, commande prédictive optimale , performance , robustesse.

Remerciements

Nous tenons à exprimer notre profonde gratitude à toutes les personnes qui ont contribué, de près ou de loin, à la réalisation de ce mémoire.

En premier lieu, nous remercions chaleureusement nos encadrants, Dr. Messaoud CHAKIR et Pr. MS. BOUCHERIT, pour leur patience, leurs précieux conseils et leur soutien constant tout au long de cette recherche. Leur rigueur scientifique et leur disponibilité ont été déterminantes pour la réussite de ce travail. Nous exprimons également notre profonde gratitude au Pr. M. Tadjine pour son soutien et ses conseils avisés qui ont grandement contribué à la réalisation de cette mémoire. Ses perspectives éclairées ont enrichi notre approche méthodologique et analytique, renforçant ainsi la qualité de nos travaux de recherche.

Nous souhaitons également remercier l'ensemble des enseignants de l'École Nationale Polytechnique qui nous ont accompagnés tout au long de notre cursus. Leurs enseignements et leurs encouragements ont été essentiels à notre formation académique.

Un grand merci à nos collègues et amis, pour leur soutien moral et leurs encouragements, ainsi que pour les discussions enrichissantes qui ont souvent éclairé notre réflexion.

Nous n'oublions pas nos familles respectives, dont le soutien inconditionnel et la patience nous ont permis de mener à bien ce projet. Leur présence à nos côtés a été un véritable pilier tout au long de cette aventure.

Enfin, nous remercions toutes les personnes et institutions qui ont fourni des informations, des données ou des ressources, et sans lesquelles ce mémoire n'aurait pas été possible.

À tous, nous vous adressons nos plus sincères remerciements.

TABLE DES MATIERS

Liste des figures

Introduction Générale	8
1 Généralités sur les techniques de dessalement d'eau	10
1 Introduction	10
2 Procédés de dessalement	11
2.1 Procédés de distillation	11
2.1.1 La distillation à plusieurs étages flash (MSF)	12
2.1.2 Distillation à effet multiple (MED)	13
2.1.3 Compression de vapeur (VC)	14
2.1.3.1 la compression mécanique de vapeur (CMV):	14
2.1.3.2 la compression thermique de vapeur (CTV):	14
2.2 Procédés à membranes	15
2.2.1 Osmose inverse (RO)	15
2.2.1.1 Principes fondamentaux	16
2.2.1.2 Composants du système RO	16
2.2.1.3 Types de membranes RO	16
2.2.1.4 Applications de l'osmose inverse	16
2.2.1.5 Avantages et inconvénients	17
2.2.1.6 Entretien et défis	17
2.2.2 Électrodialyse (ED)	18
2.2.2.1 Principe de l'électrodialyse (ED)	18
2.2.2.2 Applications typiques	19
2.2.2.3 Limitations	19
3 Conclusion	20
2 Modélisation et simulation d'un procédé de dessalement par osmose inverse	22
1 Introduction	22
2 Fonctionnement du Système	22
3 Flux de solvant	23
3.1 Influence de la pression et de la pression osmotique	23

4	Flux de soluté	24
5	Rejet de la membrane	24
5.1	Taux de récupération	24
6	Bilans de matière	25
6.1	Variation du volume du perméat	25
6.2	Le bilan de matière autour du module de membrane	26
7	Relation entre les bilans matière et les modèles de transfert de masse	27
8	simulation	30
9	Suivi des paramètres au cours de la simulation	31
10	Résultats de la simulation	32
10.1	L'évolution de la concentration d'alimentation dans le réservoir d'alimentation.	32
10.2	Évolution des concentrations de perméat à la sortie du module d'osmose inverse et de la concentration moyenne du produit dans le réservoir de stockage	33
10.3	Évolution du flux en fonction du temps	34
10.4	Évolution de la concentration d'alimentation C_f pour différentes valeurs de ΔP	35
10.5	Évolution de la concentration moyenne C_{pav} pour différentes valeurs de ΔP	36
10.6	Évolution du flux J_w pour différentes valeurs de ΔP	37
11	conclusion	38
3	Théorie de la Commande Prédictive	40
1	Introduction	40
2	Fondements théoriques de la commande prédictive	41
2.1	Principes de base de la MPC	41
2.2	Éléments d'une commande prédictive	42
2.2.1	Modèle du Système	42
2.2.2	Horizon de Prédiction	42
2.2.3	Fonction de Coût	43
2.2.4	Problème d'Optimisation	43
2.2.5	Contraintes	43
2.2.6	Mise à Jour en Temps Réel	43
2.2.7	Algorithmes d'Optimisation	43
3	Commande prédictive linéaire (MPC-L)	44
3.1	LMPC : Formulation du Problème	44
3.2	Problème 1	44
3.3	Problème 2	45
3.4	LMPC : Algorithme	45
3.5	Réduction du calcul en ligne	48
3.6	LMPC : Suivi du point de consigne	49
3.7	LMPC : Exemples numériques	50

4	Commande prédictive non linéaire (NMPC)	51
4.1	NMPC : Formulation du problème	51
4.2	NMPC : Algorithme	51
4.3	NMPC : Suivi de point de consigne	53
4.4	NMPC : Exemples numériques	53
4	Application de la commande MPC sur le système d'osmose inverse	57
1	Introduction	57
2	Le modèle non linéaire du système d'osmose inverse	57
3	Transformation du Modèle Continu vers le Modèle Discret	59
4	Formulation a un Problème d'optimization	60
4.1	Résolution du Problème d'Optimisation	60
5	Résolution du Problème d'Optimisation avec CasADi	62
5.1	Définition de l'Horizon de Temps et des Constantes	62
5.2	Définition des Variables Symboliques	62
5.3	Équations Différentielles du Système	63
5.4	Équation de Sortie	63
5.5	Conditions Initiales	63
5.6	Formulation du Problème NLP	63
5.7	Création du Solveur NLP	64
5.8	Résolution du NLP	64
5.9	Extraction des Résultats	64
5.10	Visualisation des Résultats	65
5.10.1	la sortie prédite	65
5.10.2	l'entrée prédite(optimale)	66
5.10.3	la trajectoire de l'état x_1	67
5.10.4	la trajectoire de l'état x_2	68
5.10.5	L'erreur entre la sortie optimale Y_{opt} et la référence Y_{rfr}	69
6	Performance et Robustesse	70
6.1	L'encrassement des membranes	70
6.2	MPC avec la variaion de A_w	74
6.2.1	la sortie J_w	74
6.2.2	l'entrée optimale	75
6.2.3	la trajectoire de l'etat x_1	76
6.2.4	la trajectoire de l'etat x_2	77
7	conclusion	78
	Conclusion Générale	80
	Bibliographie	81

Liste des figures

1.1	Schéma des procédés de dessalement [1]	11
1.2	Schéma pour la distillation à plusieurs étages flash (MSF)	12
1.3	Schéma pour la distillation à effet multiple (MED) [4]	13
1.4	Schéma du procédé de compression de vapeur mécanique (MVC) [18]	14
1.5	Schéma du procédé de compression de vapeur thermique (TVC) [18]	15
1.6	Schéma du procédé d'osmose inverse (RO) [2]	15
1.7	Schéma du procédé d'électrodialyse (ED) [3]	18
2.1	Schéma du système d'osmose inverse	23
2.2	Évolution de la concentration d'alimentation (réservoir d'alimentation) C_f	32
2.3	Évolution de la concentration du perméat C_p et de la concentration moyenne C_{pav}	33
2.4	Évolution du flux en fonction du temps	34
2.5	Évolution de la concentration d'alimentation (réservoir d'alimentation) C_f pour différentes valeurs de Δp	35
2.6	Évolution de la concentration C_{pav} pour différentes valeurs de Δp	36
2.7	Évolution de la concentration J_w pour différentes valeurs de Δp	37
3.1	Schéma explicatif des principes de base de la MPC [6]	41
3.2	Réponse LMPC (a) Stabilisation (b) Suivi du point de consigne.	50
3.3	Réponse du NMPC (a) Stabilisation (b) Suivi du point de consigne.	54
4.1	la sortie optimale Y_{opt}	65
4.2	l'entrée optimale U_{opt}	66
4.3	l'état x_1	67
4.4	l'état x_2	68
4.5	l'erreur entre Y_{opt} et Y_{rfr}	69
4.6	Évolution de A_w en fonction du temps	73
4.7	la sortie optimale Y_{opt}	74
4.8	l'entrée optimale U_{opt}	75
4.9	l'état x_1	76
4.10	l'état x_2	77

Introduction Générale

Le dessalement de l'eau de mer est devenu une solution incontournable pour répondre aux besoins croissants en eau douce dans de nombreuses régions du monde, particulièrement dans les zones arides et semi-arides. Parmi les différentes techniques de dessalement, l'osmose inverse s'impose comme l'une des méthodes les plus efficaces et les plus largement utilisées en raison de ses avantages en termes de rendement et de coût énergétique. Ce projet de fin d'étude se propose de modéliser et de commander une station de dessalement par osmose inverse, afin d'optimiser son fonctionnement et d'améliorer sa performance.

Le premier chapitre de ce rapport est consacré à une revue détaillée des différentes techniques de dessalement, mettant en lumière les principes, avantages et inconvénients de chacune. Cette analyse permettra de contextualiser le choix de l'osmose inverse comme technologie de référence pour notre étude.

Dans le deuxième chapitre, nous développerons le modèle mathématique décrivant le processus d'osmose inverse. Ce modèle sera simulé en boucle ouverte pour vérifier sa validité et comprendre les dynamiques principales du système. La modélisation mathématique est cruciale pour saisir les interactions complexes entre les différentes variables du processus et pour poser les bases d'une commande efficace.

Le troisième chapitre abordera la commande prédictive basée sur modèle (MPC), une méthode de contrôle avancée particulièrement adaptée aux systèmes multivariables présentant des délais et des contraintes. Nous discuterons des principes fondamentaux de la MPC, de sa mise en œuvre dans le contexte du dessalement par osmose inverse, et des avantages qu'elle offre en termes de stabilité et d'optimisation de la performance du système.

Enfin, le quatrième chapitre sera dédié à l'application de la commande MPC à notre modèle d'osmose inverse. À travers des simulations et des études de cas, nous évaluerons les performances de la commande en termes de qualité de l'eau produite, de consommation énergétique et de robustesse face aux perturbations et variations des conditions d'opération.

En conclusion, ce projet vise à fournir une approche intégrée pour la modélisation et la commande d'une station de dessalement par osmose inverse, contribuant ainsi à l'amélioration de l'efficacité et de la fiabilité des installations de dessalement modernes.

Chapitre 1

Généralités sur les techniques de dessalement d'eau

Chapitre 01

Généralités sur les techniques de dessalement d'eau

1 Introduction

Ce chapitre explore les principaux procédés de dessalement d'eau utilisés dans l'industrie, en offrant une vue détaillée de leurs principes de fonctionnement, de leurs avantages et de leurs inconvénients. Nous commencerons par un aperçu des différentes méthodes de dessalement, illustrées par un schéma représentatif des procédés les plus courants.

Nous aborderons d'abord les procédés de distillation, qui représentent une part importante du marché du dessalement. Cela inclut la distillation à plusieurs étages flash (MSF), la distillation à effet multiple (MED) et la compression de vapeur (VC). Chacun de ces procédés sera examiné pour comprendre comment ils fonctionnent, leur consommation énergétique et leurs applications spécifiques.

Ensuite, nous examinerons les procédés à membranes, en particulier l'osmose inverse (RO) et l'électrodialyse (ED). Nous détaillerons le fonctionnement de l'osmose inverse, ses composants, les différents types de membranes utilisées, et ses diverses applications. Nous aborderons aussi ses avantages, comme son efficacité élevée et sa faible consommation énergétique, ainsi que ses inconvénients, notamment la sensibilité à l'encrassement et la gestion du rejet de saumure.

2 Procédés de dessalement

Cette section explore les principaux procédés de dessalement d'eau utilisés dans l'industrie, en fournissant des explications approfondies sur chaque méthode ainsi que ses principes de fonctionnement, ses avantages et ses inconvénients.

Le schéma figurant dans la Figure 1 met en évidence les procédés de dessalement les plus couramment adoptés :

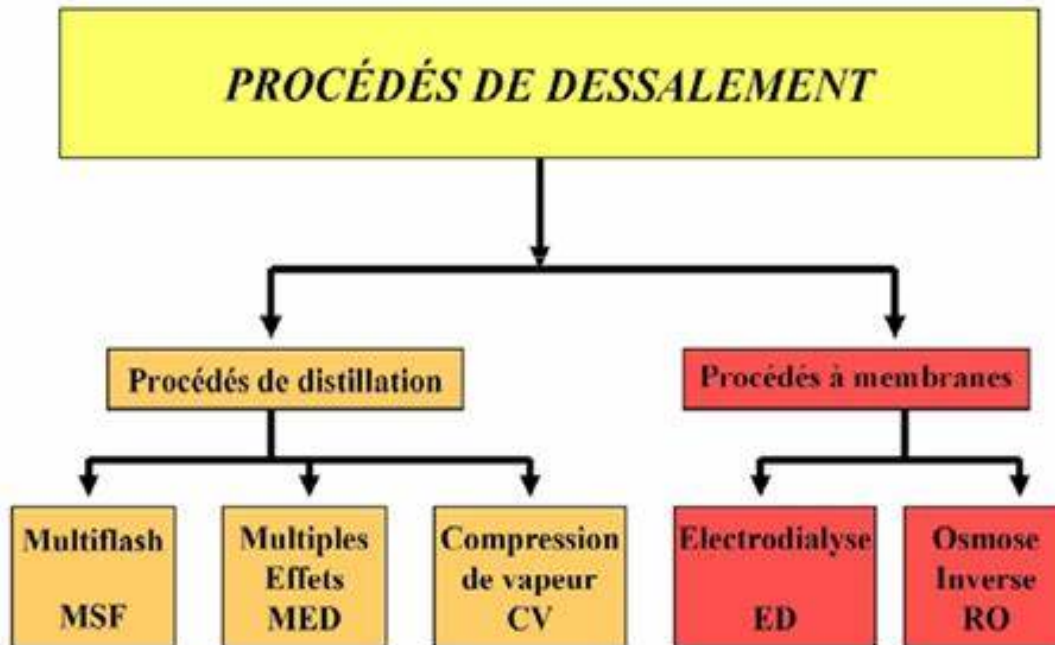


Figure 1.1: Schéma des procédés de dessalement [1]

Le schéma des différents procédés de dessalement illustre les principales méthodes utilisées dans l'industrie pour produire de l'eau douce à partir de sources d'eau salée ou saumâtre.

2.1 Procédés de distillation

Les procédés de distillation représentent environ la moitié du marché du dessalement et consomment en moyenne une énergie électrique équivalente de 10 à 15 kWh/m³ [24]. Ils sont, à leur tour, divisés en sous-catégories suivantes :

- Distillation à plusieurs étages flash (MSF) ;
- Distillation à effet multiple (MED) ;
- Compression de vapeur (VC), thermique (TVC) et mécanique (MVC) ;
- D'autres processus comprennent la distillation solaire, l'humidification-déshumidification, la distillation par membrane et la congélation. [8]

2.1.1 La distillation à plusieurs étages flash (MSF)

Dans ce processus, l'eau de mer chauffée passe à travers une chambre où la pression ambiante est soudainement réduite, la forçant à presque se transformer en vapeur (Fig. 1.2). L'eau de mer restante passe à travers l'étape suivante, qui est maintenue à une pression plus basse la forçant à se transformer à nouveau en vapeur.

La vaporisation est répétée alors que l'eau de mer passe d'une étape à l'autre à des pressions de plus en plus basses sans ajouter de chaleur supplémentaire. Une usine MSF typique comporte 20 à 30 étages en fonctionnement à tout moment avec une capacité maximale d'environ 75 000 m³/jour [20] [22].

L'eau douce est produite lorsque la vapeur, résultant de la vaporisation, est condensée par l'eau de mer douce entrante et fraîche, qui est, à son tour, préchauffée avant de passer dans le réchauffeur de saumure avant la première étape. Le préchauffage de l'eau de mer douce réduira la quantité totale de chaleur nécessaire par le réchauffeur de saumure pour que l'eau de mer d'alimentation atteigne le point de vaporisation de la première étape et, par conséquent, augmentera l'efficacité globale du processus de dessalement.

Les unités MSF sont considérées comme les plus simples à exploiter avec un historique de fiabilité éprouvé, des exigences de prétraitement minimales et un faible potentiel d'encrassement. Cependant, elles ont un coût en capital élevé et des besoins énergétiques importants. [24]

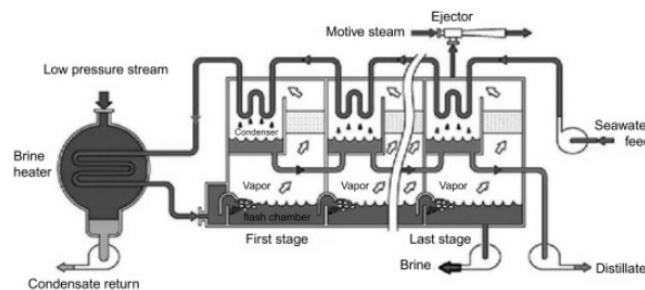


Figure 1.2: Schéma pour la distillation à plusieurs étages flash (MSF)

2.1.2 Distillation à effet multiple (MED)

La distillation à effet multiple (MED) est une méthode avancée de dessalement thermique. Dans ce processus, l'eau de mer est préchauffée et passe à travers une série d'unités de distillation appelées "effets". Chaque effet opère à une température plus élevée que celui précédent, ce qui permet une meilleure efficacité énergétique comparée à la distillation à plusieurs étages flash [14] (Fig. 1.5).

Chaque effet dans un système MED fonctionne comme une unité de distillation autonome, produisant de la vapeur à partir de l'eau de mer préchauffée. Cette vapeur est ensuite condensée pour produire de l'eau douce, tandis que la saumure concentrée est évacuée du système. Les installations MED sont connues pour leur capacité à optimiser l'utilisation de la chaleur en réutilisant l'énergie thermique évaporée à travers plusieurs effets, ce qui réduit la consommation énergétique globale du processus.

L'efficacité de la distillation à effet multiple dépend de plusieurs facteurs, notamment du nombre d'effets utilisés et de la différence de température entre chaque effet. Bien que la technologie MED offre des avantages significatifs en termes d'efficacité énergétique, elle nécessite des investissements initiaux plus importants en raison de sa complexité et de son équipement supplémentaire par rapport à d'autres méthodes de dessalement.

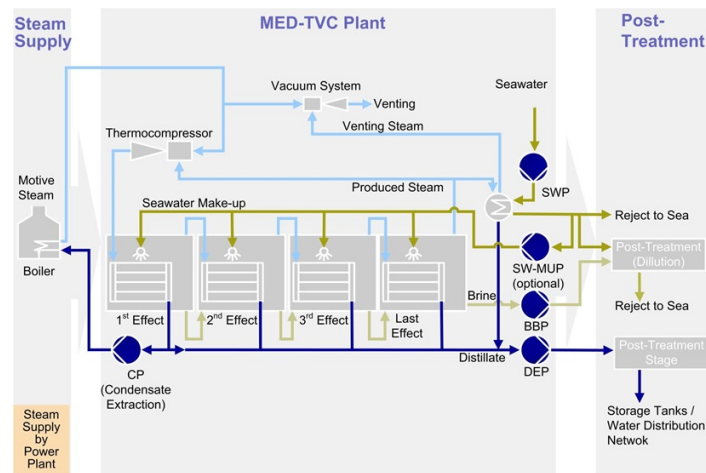


Figure 1.3: Schéma pour la distillation à effet multiple (MED) [4]

2.1.3 Compression de vapeur (VC)

Il existe essentiellement deux types de systèmes de compression de vapeur : la compression mécanique de vapeur (CMV) et la compression thermique de vapeur (CTV).

2.1.3.1 la compression mécanique de vapeur (CMV): Pour la compression mécanique de vapeur, le fluide d'alimentation est chauffé dans un échangeur de chaleur, où il se transforme en vapeur. Cette vapeur est ensuite comprimée mécaniquement par un compresseur électrique, augmentant ainsi sa pression et sa température. La vapeur comprimée, désormais sous forme d'eau douce, retourne à travers l'échangeur de chaleur initial pour chauffer le fluide d'entrée [18].

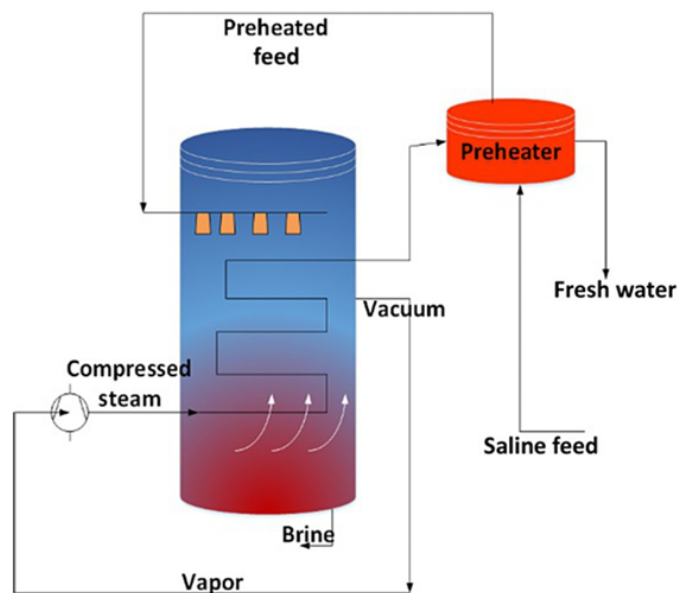


Figure 1.4: Schéma du procédé de compression de vapeur mécanique (MVC) [18]

2.1.3.2 la compression thermique de vapeur (CTV): La compression thermique de vapeur utilise un jet de vapeur pour comprimer la vapeur initiale, créant ainsi un vide. Cette méthode de compression exploite la chaleur de la vapeur pour augmenter sa pression. La vapeur comprimée, toujours à haute température et pression, est réintroduite dans le système pour chauffer le fluide d'alimentation.

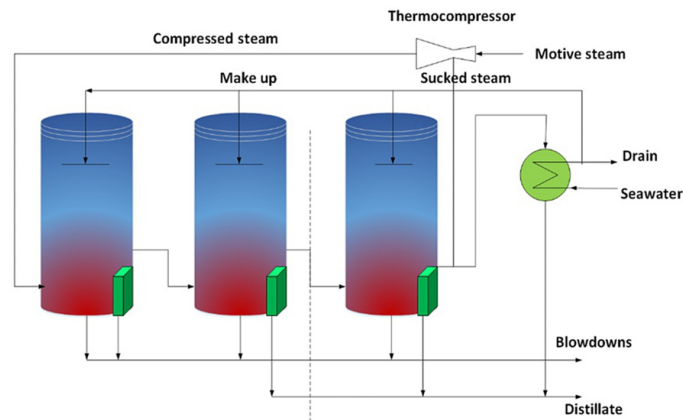


Figure 1.5: Schéma du procédé de compression de vapeur thermique (TVC) [18]

Typiquement, les systèmes CMV ont une capacité plus restreinte, variant entre 100 et 3000 m³/jour, tandis que les systèmes CTV peuvent atteindre des capacités beaucoup plus élevées, allant de 10 000 à 30 000 m³/jour [18].

2.2 Procédés à membranes

Les procédés à membranes sont une autre catégorie importante de techniques de dessalement qui utilisent des membranes semi-perméables pour séparer l'eau douce des sels dissous. Ces procédés comprennent l'osmose inverse (RO) et l'électrodialyse (ED) [12].

2.2.1 Osmose inverse (RO)

L'osmose inverse est le procédé de dessalement à membranes le plus couramment utilisé. Il repose sur l'application d'une pression supérieure à la pression osmotique pour forcer l'eau à travers une membrane semi-perméable, laissant les sels et autres impuretés derrière elle (Fig. 1.6). Ce procédé est très efficace pour éliminer les sels dissous et peut produire de l'eau douce de haute qualité à partir de l'eau de mer et de l'eau saumâtre. Les avantages de l'osmose inverse incluent une consommation d'énergie relativement faible par rapport aux procédés thermiques et une grande flexibilité d'application. Cependant, les membranes peuvent être sujettes à l'encrassement et nécessitent un prétraitement soigneux de l'eau d'alimentation.

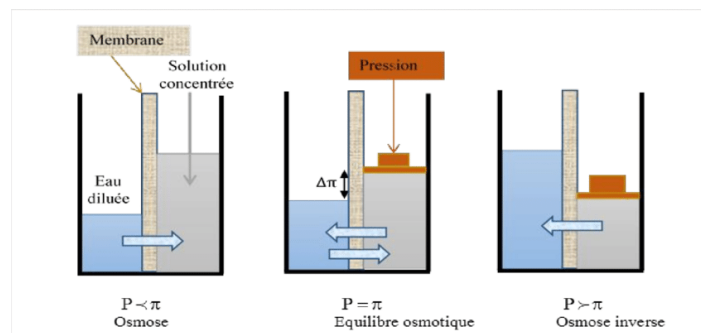


Figure 1.6: Schéma du procédé d'osmose inverse (RO) [2]

2.2.1.1 Principes fondamentaux

Le processus d'osmose inverse repose sur les principes de la pression osmotique et de la perméabilité sélective. Lorsqu'une solution saline est séparée par une membrane semi-perméable, l'eau pure tend à se déplacer vers la solution saline pour équilibrer les concentrations de part et d'autre de la membrane. En appliquant une pression externe supérieure à la pression osmotique, ce mouvement naturel est inversé, forçant l'eau à se déplacer à travers la membrane en laissant les sels dissous et autres impuretés derrière.

2.2.1.2 Composants du système RO

Un système d'osmose inverse typique comprend les composants suivants :

- **Pompe haute pression** : Fournit la pression nécessaire pour surmonter la pression osmotique et forcer l'eau à travers la membrane.
- **Membrane semi-perméable** : Le cœur du système, souvent en matériau composite, qui permet la séparation de l'eau et des impuretés.
- **Prétraitement de l'eau** : Inclut des filtres pour éliminer les particules en suspension, des adoucisseurs pour réduire la dureté de l'eau, et parfois des agents chimiques pour prévenir l'encrassement de la membrane.
- **Post-traitement de l'eau** : Peut inclure des procédés de désinfection et des ajustements de pH pour rendre l'eau traitée conforme aux standards de qualité de l'eau potable.
- **Système de contrôle et d'automatisation** : Permet de surveiller et d'ajuster les paramètres de fonctionnement pour optimiser l'efficacité du système.

2.2.1.3 Types de membranes RO

Il existe plusieurs types de membranes utilisées dans les systèmes d'osmose inverse, chacune ayant des caractéristiques spécifiques :

- **Membranes en acétate de cellulose (CA)** : Historiquement les premières utilisées, elles ont une bonne tolérance au chlore mais sont moins performantes en termes de rejet des sels.
- **Membranes en polyamide (PA)** : Les plus couramment utilisées aujourd'hui, offrant un excellent rejet des sels et une bonne résistance aux produits chimiques, bien que sensibles au chlore.
- **Membranes composites** : Composées de plusieurs couches de matériaux différents pour optimiser la performance et la durabilité.

2.2.1.4 Applications de l'osmose inverse

L'osmose inverse est utilisée dans diverses applications :

- **Production d'eau potable** : Conversion de l'eau de mer et de l'eau saumâtre en eau potable, notamment dans les régions côtières et arides.

- **Industrie** : Utilisée dans des procédés nécessitant de l'eau ultrapure, comme la fabrication de semi-conducteurs, l'industrie pharmaceutique, et les centrales électriques.
- **Traitement des eaux usées** : Récupération et réutilisation de l'eau dans des systèmes de recyclage des eaux usées.

2.2.1.5 Avantages et inconvénients

Avantages :

- **Efficacité élevée** : Capable d'éliminer jusqu'à 99% des sels dissous et des impuretés.
- **Consommation d'énergie relativement faible** : Comparée aux procédés thermiques comme la distillation.
- **Flexibilité** : Peut être utilisée pour traiter différents types d'eau, y compris l'eau saumâtre et l'eau de mer.

Inconvénients :

- **Sensibilité à l'encrassement** : Les membranes peuvent être encrassées par des particules, des microorganismes, et des dépôts chimiques, nécessitant un prétraitement minutieux.
- **Rejet de saumure** : Génère un flux de saumure concentrée qui doit être géré de manière appropriée pour éviter les impacts environnementaux.
- **Coût des membranes** : Les membranes doivent être périodiquement remplacées, ce qui représente un coût continu.

2.2.1.6 Entretien et défis

Pour assurer le bon fonctionnement et la longévité d'un système d'osmose inverse, un entretien régulier est nécessaire :

- **Nettoyage des membranes** : Utilisation de nettoyeurs chimiques spécifiques pour éliminer les dépôts et l'encrassement.
- **Surveillance des paramètres** : Contrôle régulier de la qualité de l'eau d'alimentation, de la pression, et du débit pour détecter les anomalies et les traiter rapidement.
- **Gestion de la saumure** : Développement de solutions durables pour le rejet ou la réutilisation de la saumure concentrée.

2.2.2 Électrodialyse (ED)

L'électrodialyse utilise des membranes ioniquement perméables et un champ électrique pour séparer les ions dissous de l'eau. Les ions positifs (cations) migrent vers la cathode et les ions négatifs (anions) migrent vers l'anode, traversant ainsi des membranes spécifiques aux cations et aux anions pour être extraits de l'eau (Fig. 1.7). Ce procédé est particulièrement efficace pour le dessalement de l'eau saumâtre. L'électrodialyse présente l'avantage de pouvoir réguler précisément la concentration ionique de l'eau traitée et a une consommation d'énergie qui varie en fonction de la salinité de l'eau d'alimentation. [12]

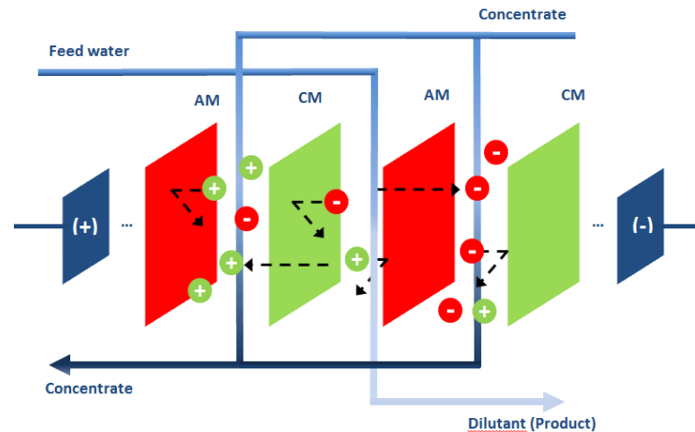


Figure 1.7: Schéma du procédé d'électrodialyse (ED) [3]

2.2.2.1 Principe de l'électrodialyse (ED) L'électrodialyse est une technique de séparation électrochimique qui utilise des membranes spécifiques aux ions et un champ électrique pour enlever les ions dissous dans l'eau. Le principe de base repose sur la migration des ions sous l'influence d'un champ électrique :

- **Ions positifs (cations)** : tels que le sodium (Na), le calcium (Ca^{2+}), et le magnésium (Mg^{2+}), migrent vers la cathode (électrode négative).
- **Ions négatifs (anions)** : tels que le chlorure (Cl), le sulfate (SO_4^{2-}), et le bicarbonate (HCO_3^-), migrent vers l'anode (électrode positive).

Ces ions traversent des membranes ioniquement perméables :

- **Membranes cationiques** : ne laissent passer que les cations.
- **Membranes anioniques** : ne laissent passer que les anions.

Avantages de l'électrodialyse - Contrôle précis de la concentration ionique : L'électrodialyse permet d'ajuster avec précision le niveau de salinité de l'eau traitée, ce qui est utile pour des applications spécifiques nécessitant des niveaux particuliers de pureté de l'eau.

- **Consommation d'énergie variable :** La consommation d'énergie de l'électrodialyse dépend directement de la salinité de l'eau d'alimentation. Pour l'eau faiblement saumâtre, l'ED peut être plus économe en énergie comparée à d'autres méthodes de dessalement comme l'osmose inverse.

- **Maintenance et opération :** Les systèmes d'électrodialyse sont généralement robustes et peuvent être facilement maintenus avec un entretien régulier.

2.2.2.2 Applications typiques - Dessalement de l'eau saumâtre : L'ED est couramment utilisée pour produire de l'eau potable à partir de sources d'eau saumâtre, particulièrement dans les régions où l'eau douce est rare.

- **Traitement des eaux usées industrielles :** L'ED peut être employée pour récupérer des sels et d'autres composés précieux des eaux usées industrielles, réduisant ainsi la pollution et permettant la réutilisation de l'eau.

- **Prétraitement dans les industries alimentaires et pharmaceutiques :** L'électrodialyse est utilisée pour la purification et le traitement de l'eau dans les processus de production sensibles.

2.2.2.3 Limitations - Efficacité pour l'eau de mer : Bien que l'ED soit efficace pour l'eau saumâtre, elle est moins économique pour le dessalement de l'eau de mer à haute salinité comparée à l'osmose inverse.

- **Sensibilité aux contaminants :** Les membranes peuvent être sensibles aux encrassements par les matières organiques, les particules en suspension, et d'autres contaminants présents dans l'eau d'alimentation, nécessitant un prétraitement adéquat de l'eau.

3 Conclusion

En conclusion, le dessalement de l'eau est une technologie essentielle pour répondre aux besoins croissants en eau douce dans le monde, en particulier dans les régions arides et semi-arides. Les procédés de dessalement, qu'ils soient thermiques ou à membranes, offrent des solutions variées adaptées à différentes conditions et exigences.

Les procédés thermiques comme la distillation à plusieurs étages flash (MSF) et la distillation à effet multiple (MED) sont bien établis et largement utilisés, bien qu'ils nécessitent des investissements en capital et une consommation d'énergie élevés. D'autre part, les procédés à membranes, notamment l'osmose inverse (RO) et l'électrodialyse (ED), offrent des alternatives efficaces et plus économes en énergie, tout en présentant des défis en termes de prétraitement et de maintenance des membranes.

Les avancées technologiques et les innovations dans le domaine du dessalement continuent de répondre aux défis posés par la complexité computationnelle, la robustesse et l'adaptabilité des systèmes de commande, tout en minimisant les impacts environnementaux. Le développement de nouvelles technologies et l'amélioration des procédés existants sont cruciaux pour garantir une sécurité hydrique durable à l'échelle mondiale.

Ce chapitre a fourni un aperçu complet des principales techniques de dessalement, en mettant en lumière leur importance et les défis associés à leur mise en œuvre. Les efforts continus en matière de recherche et de développement, ainsi que la collaboration internationale, seront déterminants pour surmonter les obstacles et maximiser les avantages des technologies de dessalement.

Chapitre 2

**Modélisation et simulation d'un procédé de dessalement par osmose
inverse**

Chapitre 02

Modélisation et simulation d'un procédé de dessalement par osmose inverse

1 Introduction

La modélisation est essentielle pour comprendre et optimiser les systèmes complexes. En développant des modèles mathématiques précis, nous pouvons prédire le comportement du système, analyser l'impact de différents paramètres et améliorer les performances des applications industrielles et environnementales.

Dans ce chapitre, nous nous concentrerons sur la modélisation d'une membrane d'osmose inverse. Nous établirons un modèle basé sur des équations différentielles pour représenter les phénomènes de transport à travers la membrane. Ensuite, nous utiliserons ce modèle pour simuler différentes grandeurs physiques et examiner la réponse du système sous diverses conditions. Cette approche nous permettra de mieux comprendre les dynamiques de l'osmose inverse et d'optimiser ses applications pratiques

2 Fonctionnement du Système

Le système commence par recevoir une alimentation provenant d'un réservoir. Cette alimentation est introduite dans un module d'osmose inverse où elle est soumise à une haute pression. La membrane semi-perméable permet le passage du solvant (l'eau) tout en rejetant les solutés, produisant ainsi un perméat purifié. Ce perméat est collecté dans un réservoir de produits, tandis que le rétentat concentré en solutés est recyclé dans le réservoir d'alimentation. Ce processus se poursuit jusqu'à ce que toute l'alimentation soit traitée.

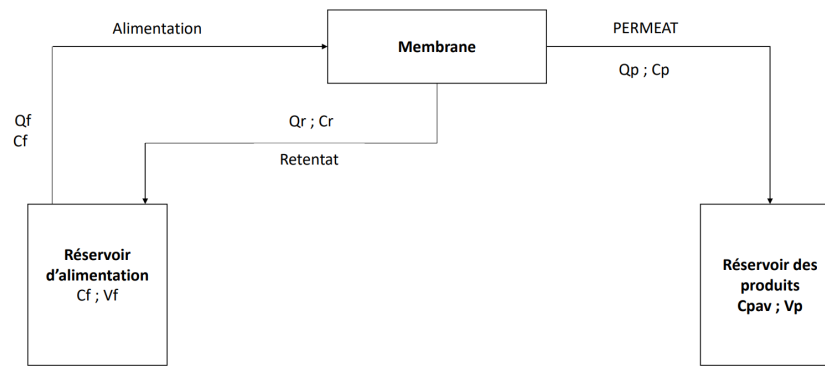


Figure 2.1: Schéma du système d'osmose inverse

3 Flux de solvant

Le flux de solvant à travers la membrane est décrit en fonction du flux volumique de perméat (Q_p), de la surface de la membrane (S_a) et de la concentration d'eau dans le perméat (C_{wp}), selon l'équation suivante [13] :

$$J_w = \frac{Q_p}{S_a} \cdot C_{wp} \quad (2.1)$$

- J_w : flux de solvant
- Q_p : débit volumique du perméat
- S_a : surface de la membrane
- C_{wp} : concentration d'eau dans le perméat

3.1 Influence de la pression et de la pression osmotique

Le flux de solvant à travers la membrane est influencé par la différence de pression hydraulique appliquée, Δp , diminuée de la différence de pressions osmotiques entre le côté perméat et le côté alimentation, $\Delta\pi$. L'équation correspondante est la suivante [7] :

$$J_w = A_w \cdot (\Delta P - \Delta\pi) \quad (2.2)$$

- A_w : coefficient de perméabilité de la membrane à l'eau
- Δp : différence de pression à travers la membrane
- $\Delta\pi$: différence de pression osmotique à travers la membrane

4 Flux de soluté

Le flux de soluté à travers la membrane est proportionnel à la constante de perméabilité du soluté, B_s , et à la différence de concentration de soluté à travers la membrane, ΔC .

$$J_s = B_s \cdot \Delta C \quad (2.3)$$

- J_s : flux de soluté
- B_s : constante de perméabilité du soluté
- $\Delta C = C_f - C_p$: différence de concentration de soluté, où C_f la concentration d'alimentation et C_p est la concentration du perméat

5 Rejet de la membrane

Le rejet de la membrane, R , est une mesure de l'efficacité de la membrane à retenir le soluté. Il est défini par la relation suivante :

$$R = \frac{C_f - C_p}{C_f} = 1 - \frac{C_p}{C_f} \quad (2.4)$$

La concentration de soluté dans le perméat, C_p , peut être exprimée en fonction de la concentration d'eau dans le perméat, C_{wp} , du flux de soluté, J_s , et du flux de solvant, J_w . La relation correspondante est donnée par :

$$C_p = C_{wp} \cdot \frac{J_s}{J_w} \quad (2.5)$$

En substituant cette expression de C_p dans la formule du rejet de la membrane, nous obtenons :

$$R = 1 - \frac{C_p}{C_f} = 1 - \frac{C_{wp} \cdot \frac{J_s}{J_w}}{C_f} = 1 - \frac{J_s \cdot C_{wp}}{J_w \cdot C_f} \quad (2.6)$$

5.1 Taux de récupération

Le taux de récupération Z est défini comme le rapport entre le débit volumique du perméat (Q_p) et le débit volumique de l'alimentation (Q_f) :

$$Z = \frac{Q_p}{Q_f} \quad (2.7)$$

- Z : taux de récupération (sans unité, généralement exprimé en pourcentage)
- Q_p : débit volumique du perméat
- Q_f : débit volumique de l'alimentation

Cette relation indique l'efficacité du système d'osmose inverse à récupérer l'eau pure (perméat) par rapport à la quantité totale d'eau alimentée dans le système. Un taux de récupération élevé signifie que la majeure partie de l'eau d'alimentation est convertie en perméat.

6 Bilans de matière

Les équations de bilan de matière peuvent être formulées pour le système étudié. Lorsque l'on examine le bilan de matière appliqué aux rendements des cuves de produits, on obtient :

$$Q_p \cdot C_p = \frac{d(V_p \cdot C_{pav})}{dt} \quad (2.8)$$

Dans cette équation, C_{pav} représente la concentration moyenne du produit, c'est-à-dire la concentration de soluté dans le réservoir de produit, tandis que V_p désigne le volume du produit collecté.

$$Q_p \cdot C_p = \frac{dV_p}{dt} \cdot C_{pav} + \frac{dC_{pav}}{dt} \cdot V_p \quad (2.9)$$

Les conditions initiales de cette relation sont les suivantes :

$$V_p = 0 \quad \text{et} \quad C_{pav} = C_p \quad \text{à} \quad t = 0 \quad (2.10)$$

6.1 Variation du volume du perméat

la variation du volume du perméat avec le temps correspond au débit de production de la membrane, ce qui peut être exprimé comme suit :

$$\frac{dV_p}{dt} = Q_p \quad (2.11)$$

la dérivée du volume du perméat par rapport au temps est égale au débit volumique du produit (Q_p).

La substitution de cette expression dans l'équation (9) donne :

$$Q_p \cdot C_p = Q_p \cdot C_{pav} + \frac{dC_{pav}}{dt} \cdot V_p \quad (2.12)$$

$$Q_p(C_p - C_{pav}) = \frac{dC_{pav}}{dt} \cdot V_p \quad (2.13)$$

6.2 Le bilan de matière autour du module de membrane

$$Q_p \cdot C_p = Q_f \cdot C_f - Q_r \cdot C_r \quad (2.14)$$

Où :

- Q_p : débit volumique du perméat
- C_p : concentration du perméat
- Q_f : débit volumique de l'alimentation
- C_f : concentration de l'alimentation
- Q_r : débit volumique du rétentat
- C_r : concentration du rétentat

De même, le bilan de matière autour du réservoir d'alimentation donne :

$$Q_r \cdot C_r - Q_f \cdot C_f = \frac{d}{dt}(V_{ft} \cdot C_{ft}) \quad (2.15)$$

Le réservoir d'alimentation est généralement bien mélangé, ainsi la concentration de l'alimentation vers la membrane est égale à la concentration dans le réservoir d'alimentation ; par conséquent, à tout instant dans le temps t , $C_{ft} = C_f$.

La combinaison des équations (15) et (14) donne :

$$-Q_p \cdot C_p = \frac{dV_{ft}}{dt} \cdot C_f + \frac{dC_f}{dt} \cdot V_{ft} \quad (2.16)$$

Le bilan sur le bac d'alimentation et le module d'osmose inverse donne :

$$\frac{-dV_{ft}}{dt} = Q_p \quad (2.17)$$

avec $V_{ft} = V_{f0}$ à $t = 0$.

On procède à l'intégration :

$$V_{ft} = V_{f0} - Q_p \cdot t \quad (2.18)$$

En substituant l'intégration de V_{ft} dans l'équation (16), on obtient :

$$-Q_p \cdot C_p = -Q_p \cdot C_f + (V_{f0} - Q_p \cdot t) \frac{dC_f}{dt} \quad (2.19)$$

Pour résoudre cette équation (Eq.19), il est nécessaire d'établir une relation entre Q_p et C_f . De plus, une expression reliant C_p à C_f est également requise.

7 Relation entre les bilans matière et les modèles de transfert de masse

L'expression de Van't Hoff [23] relie la pression osmotique (π) à la concentration molaire :

$$\pi = \phi \cdot \left(\frac{n}{V} \right) \cdot R_g \cdot T \quad (2.20)$$

où ϕ est un coefficient de pression osmotique, $\frac{n}{V}$ représente la concentration molaire, R_g est la constante des gaz parfaits, et T est la température absolue du système. La pression osmotique d'une solution augmente avec l'augmentation de la concentration et de la température de la solution.

Une expression simplifiée relie directement la pression osmotique à la concentration :

$$\pi = \phi \cdot C \quad (2.21)$$

On remplace cette relation dans l'équation du flux de solvant, on obtient :

$$J_w = A_w [\Delta P - \phi(C_f - C_p)] \quad (2.22)$$

L'équation du flux de soluté est donnée par :

$$J_s = B_s \cdot (C_f - C_p) \quad (2.23)$$

$$J_s = J_w \cdot \frac{C_p}{C_{wp}} \quad (2.24)$$

En utilisant les équations (22), (23), et (24), nous obtenons :

$$B_s \cdot (C_f - C_p) \cdot C_{wp} = A_w \cdot [\Delta P - \phi(C_f - C_p)] \cdot C_p \quad (2.25)$$

En isolant C_f dans l'équation précédente, nous obtenons :

$$C_f = \frac{C_p \cdot A_w \cdot \Delta P}{B_s \cdot C_{wp}} - \frac{C_f \cdot C_p \cdot A_w \cdot \phi}{B_s \cdot C_{wp}} + \frac{C_p^2 \cdot A_w \cdot \phi}{B_s \cdot C_{wp}} + C_p \quad (2.26)$$

Pour un rejet élevé où $A_w \cdot \Delta P / B_s \gg A_w \cdot \phi / B_s$ et $C_f > C_p$, on peut approximer C_p par :

$$C_p = C_f \left[1 + \frac{A_w \cdot \Delta P}{B_s \cdot C_{wp}} - \frac{A_w \cdot \phi \cdot C_f}{B_s \cdot C_{wp}} \right]^{-1} \quad (2.27)$$

En remplaçant l'expression de C_p dans l'équation (21), on obtient :

$$J_w = A_w \left[\Delta P - \phi \left(C_f - \frac{C_f}{1 + \frac{A_w \cdot \Delta P}{B_s \cdot C_{wp}} - \frac{A_w \cdot \phi \cdot C_f}{B_s \cdot C_{wp}}} \right) \right] \quad (2.28)$$

En remplaçant l'expression de J_w dans l'équation initiale $J_w = \frac{Q_p}{S_a} \cdot C_{wp}$, on trouve :

$$Q_p = \frac{S_a \cdot A_w}{C_{wp}} \left[\Delta P - \phi \left(C_f - \frac{C_f}{1 + \frac{A_w \cdot \Delta P}{B_s \cdot C_{wp}} - \frac{A_w \cdot \phi \cdot C_f}{B_s \cdot C_{wp}}} \right) \right] \quad (2.29)$$

Pour simplifier les équations, nous introduisons les constantes suivantes :

$$\begin{aligned} a_1 &= \frac{S_a \cdot A_w \cdot \Delta P}{C_{wp}} \\ a_2 &= \frac{S_a \cdot A_w \cdot \phi}{C_{wp}} \\ a_3 &= 1 + \frac{A_w \cdot \Delta P}{B_s \cdot C_{wp}} \\ a_4 &= \frac{A_w \cdot \phi}{B_s \cdot C_{wp}} \\ a_5 &= V_{f0} \end{aligned}$$

L'équation (27) devient :

$$C_p = \frac{C_f}{a_3 - a_4 \cdot C_f} \quad (2.30)$$

L'équation (29) devient :

$$Q_p = a_1 - a_2 \cdot C_f + \frac{a_2 \cdot C_f}{a_3 - a_4 \cdot C_f} \quad (2.31)$$

On remplace les expressions de C_p et Q_p dans l'équation 19, et on obtient [11]

$$\frac{dC_f}{dt} = \frac{(a_1 \cdot C_f - a_2 \cdot C_f^2 + \frac{a_2 \cdot C_f^2}{a_3 - a_4 \cdot C_f}) \cdot (1 - \frac{1}{a_3 - a_4 \cdot C_f})}{a_5 - a_1 \cdot t + a_2 \cdot C_f \cdot t - \frac{a_2 \cdot C_f \cdot t}{a_3 - a_4 \cdot C_f}} \quad (2.32)$$

Cette équation est une équation différentielle non linéaire qui peut être résolue numériquement. La solution détermine la concentration du soluté dans l'alimentation en fonction du temps de fonctionnement. Une fois que C_f est calculée, la concentration du perméat C_p , ainsi que le rejet et le flux, peuvent être déterminés à l'aide de l'équation suivante :

$$C_p = \frac{C_f}{a_3 - a_4 \cdot C_f}$$

La récupération globale peut être obtenue à partir de l'utilisation de la concentration d'alimentation et de perméat :

$$V_{f0} \cdot C_{f0} = (V_{f0} - V_p) \cdot C_f + V_p \cdot C_{pav} \quad (2.33)$$

La réécriture de cette équation donne :

$$C_{f0} = \left(1 - \frac{V_p}{V_{f0}}\right) C_f + \frac{V_p}{V_{f0}} C_{pav} \quad (2.34)$$

La récupération est exprimée en termes de C_f , C_{f0} et C_{pav} :

$$\frac{V_p}{V_{f0}} = \frac{C_f - C_{f0}}{C_f - C_{pav}} \quad (2.35)$$

L'équation différentielle pour C_{pav} est :

$$\frac{dC_{pav}}{dt} = \frac{\left(a_1 - a_2 \cdot C_f + \frac{a_6 \cdot C_f}{a_3 - a_4 \cdot C_f}\right) \cdot \left(\frac{C_f}{a_3 - a_4 \cdot C_f} - C_{pav}\right)}{a_5 \cdot \left(\frac{C_f - C_{f0}}{C_f - C_{pav}}\right)} \quad (2.36)$$

8 simulation

Dans cette partie, nous allons expliquer notre modèle de simulation. Notre modèle est basé sur les paramètres suivants :

- Vf_0 : Volume initial du réservoir d'alimentation (en m^3).
- C_w : Concentration de l'eau .
- Sa : Surface de la membrane .
- dP : Différence de pression .
- Aw : Coefficient de perméabilité de l'eau .
- Bs : Perméabilité au soluté .
- ϕ : Constante de passage du soluté .
- Cf_0 : Concentration initiale dans le réservoir d'alimentation.

Les constantes de notre modèle sont les suivantes :

$$a_1 = \frac{Sa \cdot Aw \cdot dP}{C_w} \quad (2.37)$$

$$a_2 = \frac{Sa \cdot Aw \cdot \phi}{C_w} \quad (2.38)$$

$$a_3 = 1 + \frac{Aw \cdot dP}{Bs \cdot C_w} \quad (2.39)$$

$$a_4 = \frac{Aw \cdot \phi}{Bs \cdot C_w} \quad (2.40)$$

$$a_5 = Vf_0 \quad (2.41)$$

$$a_6 = \frac{Sa \cdot Aw}{C_w} \quad (2.42)$$

Les équations pour calculer $\frac{dCf}{dt}$ et $\frac{dCpav}{dt}$ sont données par :

$$\frac{dCf}{dt} = \frac{(a_1 \cdot Cf - a_2 \cdot Cf^2 + \frac{a_2 \cdot Cf^2}{a_3 - a_4 \cdot Cf}) \cdot (1 - \frac{1}{a_3 - a_4 \cdot Cf})}{a_5 - a_1 \cdot t + a_2 \cdot Cf \cdot t - \frac{a_2 \cdot Cf \cdot t}{a_3 - a_4 \cdot Cf}}$$

$$\frac{dCpav}{dt} = \frac{(a_1 - a_2 \cdot Cf + \frac{a_6 \cdot Cf}{a_3 - a_4 \cdot Cf}) \cdot (\frac{Cf}{a_3 - a_4 \cdot Cf} - Cpav)}{a_5 \cdot (\frac{Cf - Cf_0}{Cf - Cpav})}$$

L'équation pour calculer le flux d'eau (J_w) est donnée par :

$$J_w = Aw \cdot (\Delta P - \phi \cdot (Cf - Cp))$$

L'équation pour calculer la concentration du perméat à partir de la concentration de l'alimentation est donnée par :

$$Cp = \frac{Cf}{a_3 - a_4 \cdot Cf}$$

9 Suivi des paramètres au cours de la simulation

Les paramètres à surveiller au cours de la simulation sont les suivants :

- L'évolution de la concentration d'alimentation dans le réservoir d'alimentation.
- L'évolution de la concentration du perméat à la sortie du module d'osmose inverse.
- L'évolution de la concentration moyenne du produit dans le réservoir de stockage.
- L'évolution du flux massique.

10 Résultats de la simulation

Les résultats de la simulation sont présentés sous forme de graphes ci-dessous.

10.1 L'évolution de la concentration d'alimentation dans le réservoir d'alimentation.

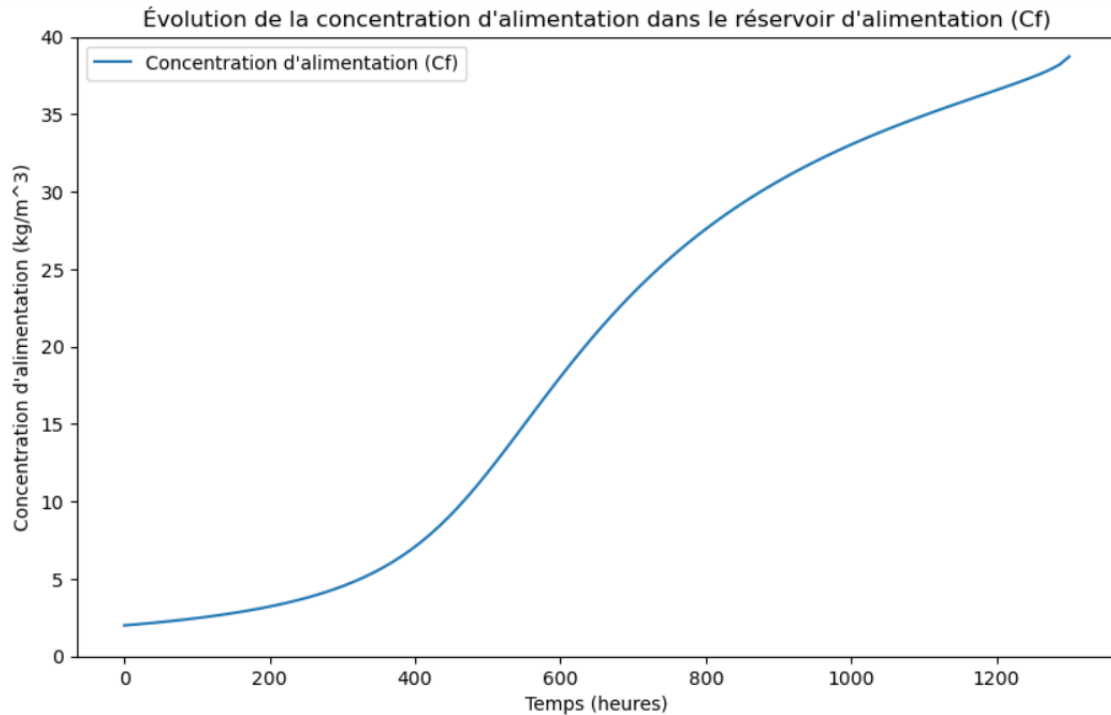


Figure 2.2: Évolution de la concentration d'alimentation (réservoir d'alimentation) Cf

Le graphe de l'évolution de la concentration d'alimentation (Cf) peut être divisé en trois phases distinctes, chacune caractérisée par une dynamique particulière.

Dans la première phase, qui s'étend jusqu'à environ $t = 400$ heures, la concentration d'alimentation augmente légèrement et de manière presque linéaire. Cela peut s'expliquer par le fait que le système est encore en train de s'équilibrer, et la faible augmentation de la concentration reflète l'ajustement progressif du réservoir d'alimentation.

La deuxième phase commence après les 400 heures et est marquée par une accélération de l'augmentation de la concentration d'alimentation. Cette hausse rapide peut être due à une augmentation de la perméabilité du module d'osmose inverse ou à une diminution de l'efficacité de l'épuration.

Enfin, dans la troisième phase, la concentration d'alimentation atteint un plateau ou une saturation. Cela pourrait résulter d'une stabilisation du système ou de la saturation des capacités d'épuration du module d'osmose inverse. Cette phase de saturation indique que le système a atteint un équilibre stable et que la concentration d'alimentation ne varie plus significativement.

10.2 Évolution des concentrations de perméat à la sortie du module d'osmose inverse et de la concentration moyenne du produit dans le réservoir de stockage

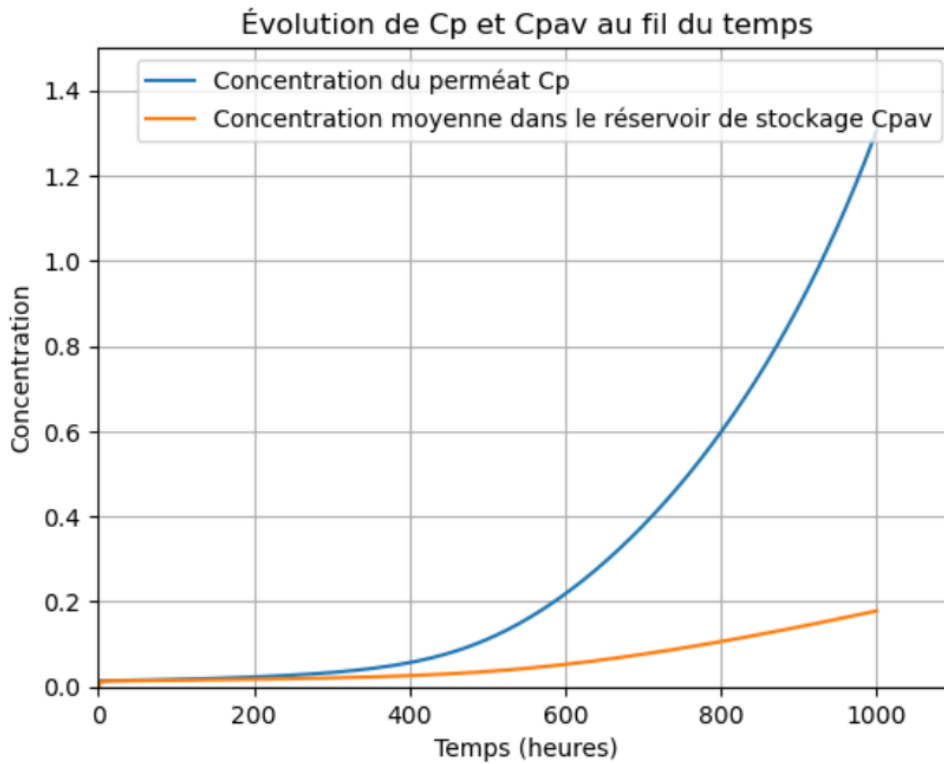


Figure 2.3: Évolution de la concentration du perméat C_p et de la concentration moyenne C_{pav}

L'évolution de la concentration du perméat (C_p) suit une tendance similaire à celle de la concentration d'alimentation (C_f). On observe une augmentation modérée jusqu'à $t = 400$ heures, puis une accélération de l'augmentation au-delà de ce temps. En revanche, la concentration moyenne dans le réservoir de stockage (C_{pav}) est nettement plus faible que la concentration du perméat.

10.3 Évolution du flux en fonction du temps

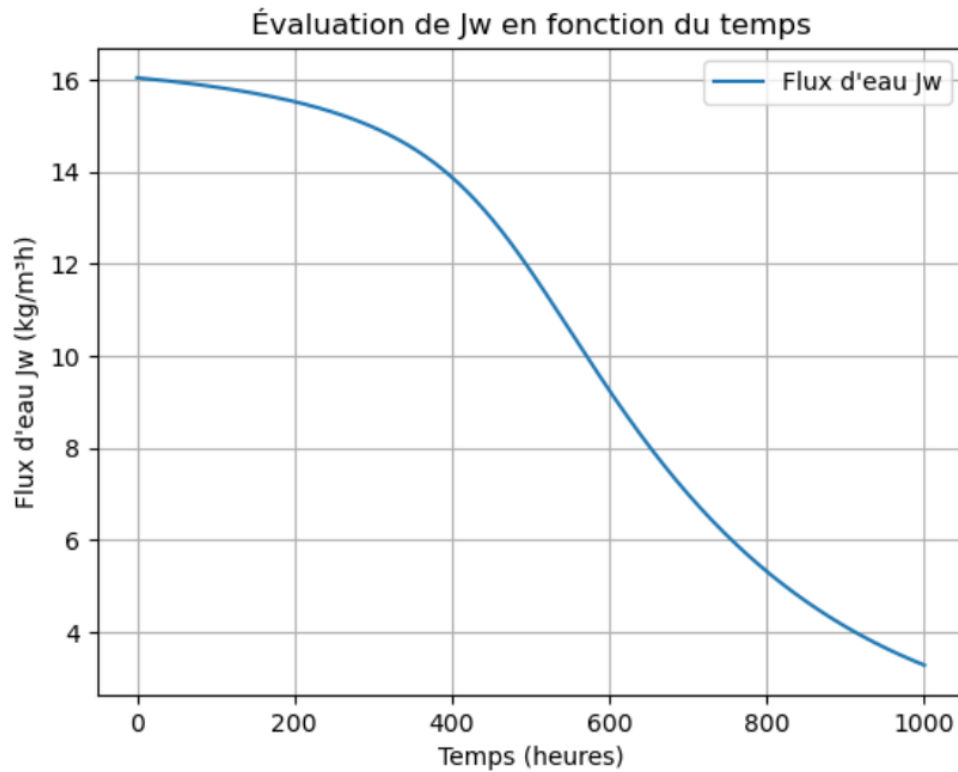


Figure 2.4: Évolution du flux en fonction du temps

La diminution du flux en fonction du temps est expliquée par la diminution de la force motrice suite à la saturation progressive de la membrane.

10.4 Évolution de la concentration d'alimentation C_f pour différentes valeurs de ΔP

Évolution de la concentration d'alimentation C_f pour différentes valeurs de dP autour de la valeur centrale

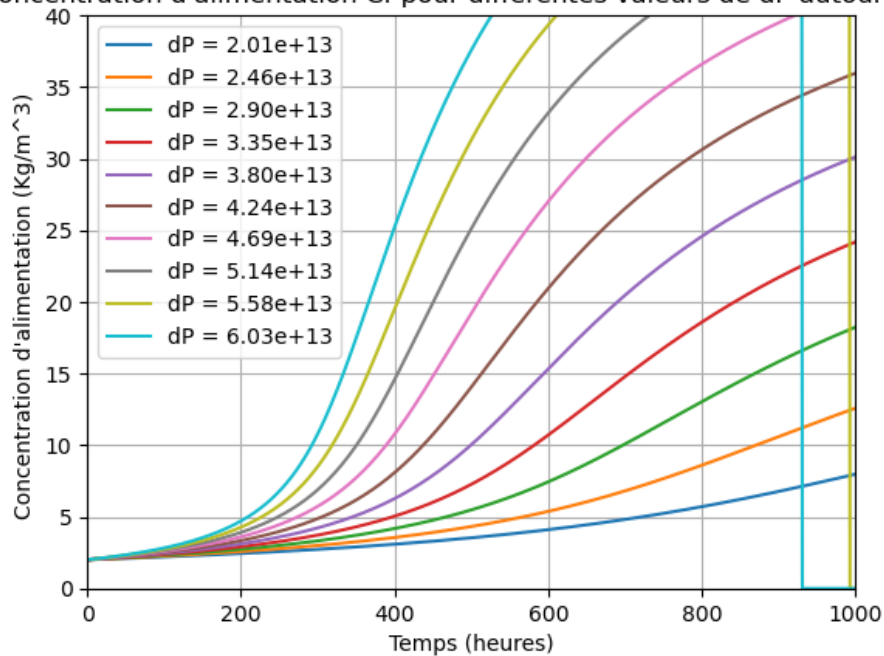


Figure 2.5: Évolution de la concentration d'alimentation (réservoir d'alimentation) C_f pour différentes valeurs de dp

Dans ce graphe, nous observons l'évolution de la concentration de l'alimentation (C_f) pour différentes valeurs de dp . Il est notable que l'augmentation de dp entraîne une augmentation de C_f dans la plage de valeurs entre 2.02×10^{13} et 6.02×10^{13} . Cependant, pour la valeur de 6.02×10^{13} , C_f augmente jusqu'à atteindre un pic à 920 heures, après quoi elle devient nulle. Ceci suggère que dp ne devrait pas dépasser cette valeur.

10.5 Évolution de la concentration moyenne C_{pav} pour différentes valeurs de ΔP

Évolution de C_{pav} pour différentes valeurs de dP autour de la valeur centrale

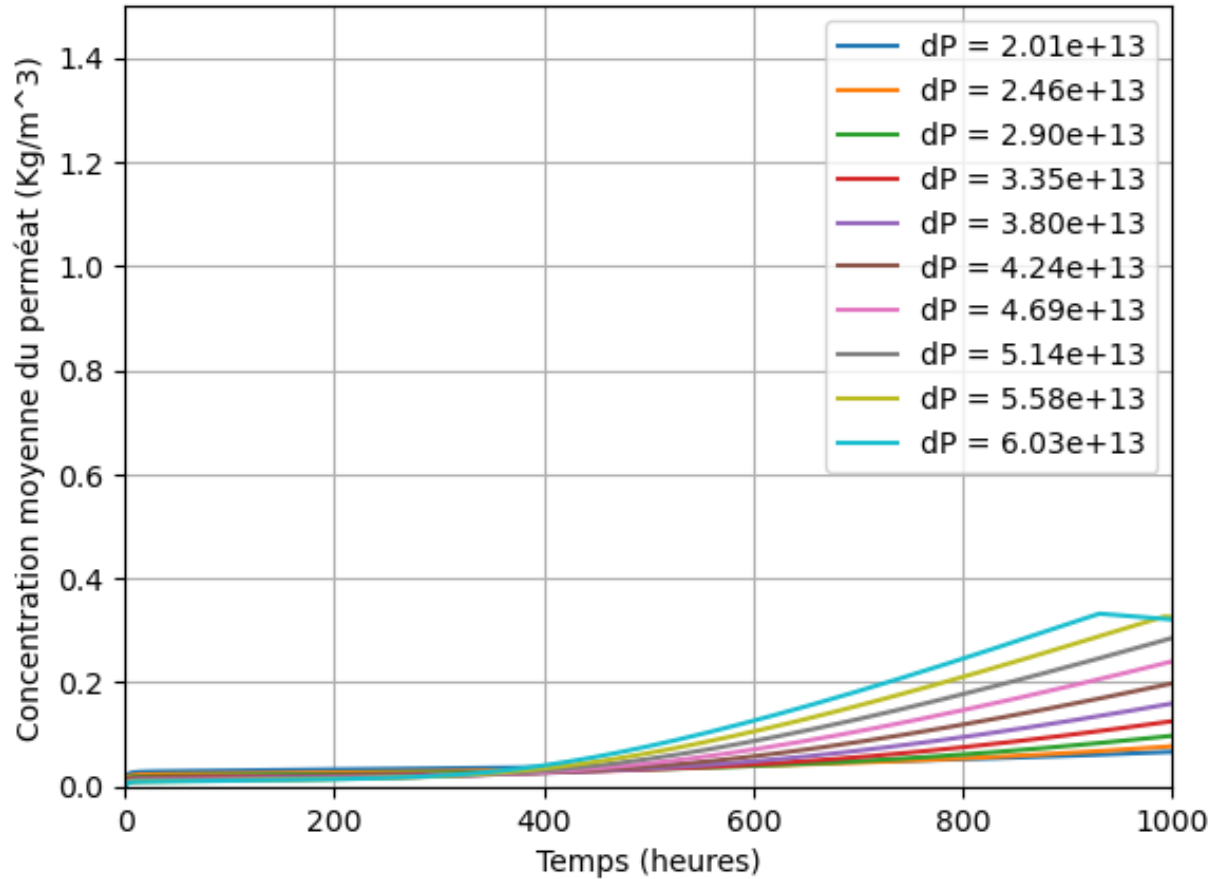


Figure 2.6: Évolution de la concentration C_{pav} pour différentes valeurs de dP

Cette figure illustre l'évolution de la concentration moyenne du perméat (C_{pav}) pour différentes valeurs de Δp (la différence de pression hydraulique). Nous observons que l'augmentation de la valeur de Δp entraîne une augmentation de C_{pav} . Cependant, pour la valeur de $6.02 \times 10^{13} \text{ kg/m} \cdot \text{h}^2$, la courbe de C_{pav} présente un léger pic avant de se stabiliser. Cela reflète la capacité et les caractéristiques de la membrane.

10.6 Évolution du flux J_w pour différentes valeurs de ΔP

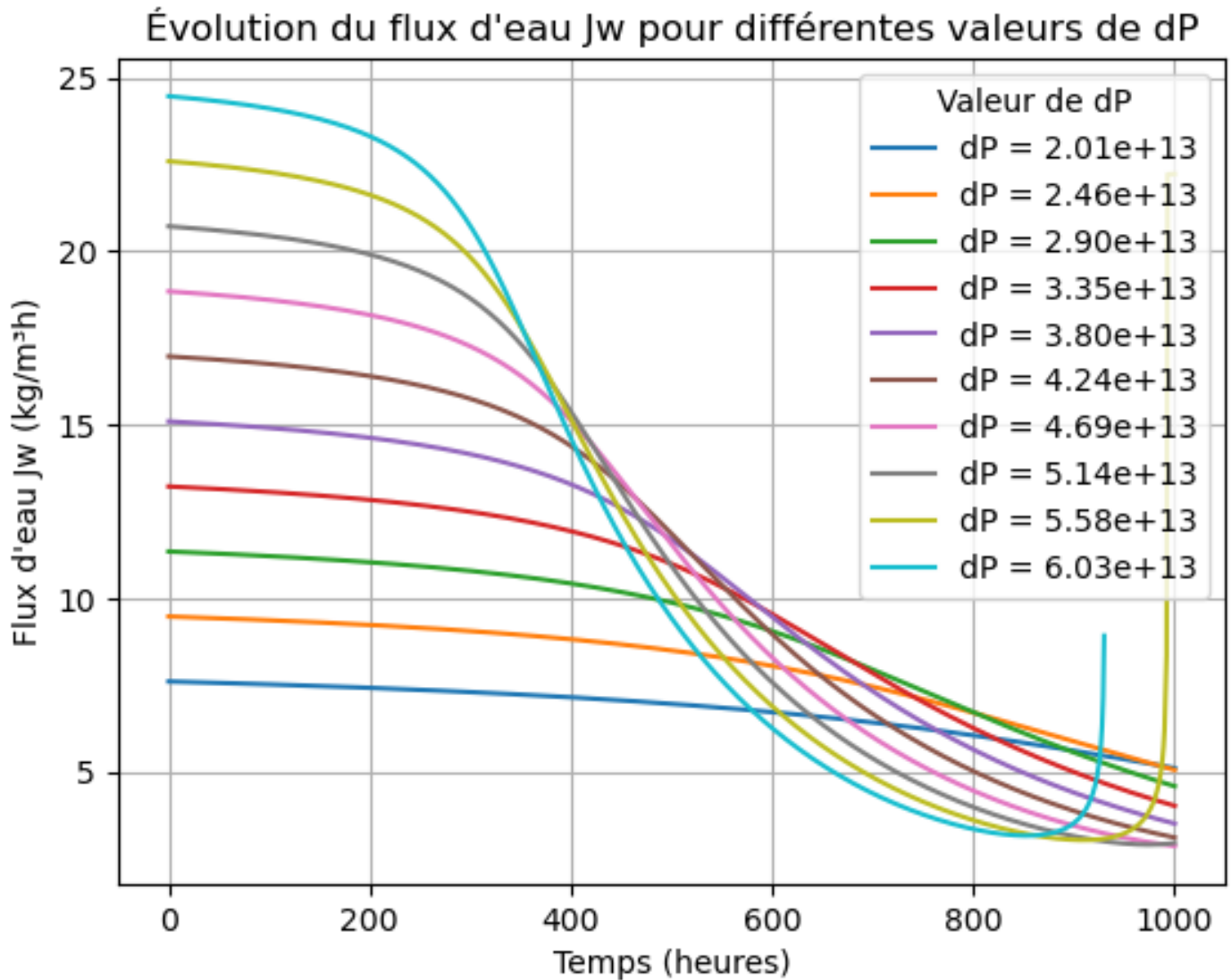


Figure 2.7: Évolution de la concentration J_w pour différentes valeurs de dP

Cette figure montre l'évolution du flux de solvant J_w pour différentes valeurs de Δp . On remarque que l'augmentation de la valeur de Δp entraîne une augmentation du flux J_w , mais cela est vrai pour des temps inférieurs à 600 heures. Après cela, l'inverse se produit : J_w commence à diminuer plus rapidement pour des valeurs plus élevées de Δp . Cependant, pour $\Delta p = 5.8 \times 10^{13}$ kg/m²·h², la courbe de J_w à $t = 900$ heures commence à diverger, ce qui est dû aux capacités et caractéristiques de la membrane.

11 conclusion

Dans ce chapitre, nous avons exploré en détail la modélisation et la simulation d'un procédé de dessalement par osmose inverse.

Nous avons détaillé les équations fondamentales qui régissent le flux de solvant et de soluté à travers la membrane. Le flux de solvant est influencé par la différence de pression hydraulique et osmotique, tandis que le flux de soluté dépend de la perméabilité de la membrane et de la différence de concentration à travers celle-ci. Nous avons également introduit des concepts clés comme le rejet de la membrane, le taux de récupération, et les bilans de matière, qui sont essentiels pour comprendre et optimiser le fonctionnement des systèmes d'osmose inverse.

La relation entre les bilans de matière et les modèles de transfert de masse a été explorée en utilisant l'expression de Van't Hoff pour relier la pression osmotique à la concentration molaire. Cette approche a permis de développer des équations différentielles qui décrivent la variation des concentrations de soluté et de solvant au cours du temps, offrant ainsi une base pour la simulation du processus de dessalement.

Enfin, nous avons présenté une simulation détaillée du procédé, en définissant les paramètres et les constantes utilisés dans le modèle. Les résultats de la simulation, représentés par des graphiques, ont illustré l'évolution de la concentration d'alimentation, de la concentration du perméat, et du flux massique au fil du temps. Ces résultats permettent d'évaluer les performances du système et d'identifier les phases critiques du processus.

Chapitre 3

Théorie de la Commande Prédictive

Chapitre 03

Théorie de la Commande Prédictive

1 Introduction

La commande prédictive basée sur le modèle (MPC) représente une approche avancée et efficace pour le contrôle des systèmes dynamiques complexes. Contrairement aux méthodes traditionnelles de contrôle qui utilisent des modèles simplifiés ou linéaires, la MPC permet de prendre en compte explicitement les contraintes opérationnelles et les variations dynamiques du système en temps réel. Cette capacité à prédire et à optimiser le comportement futur du système tout en respectant des contraintes spécifiques la rend particulièrement adaptée à une large gamme d'applications industrielles et technologiques.

Dans ce chapitre, nous explorerons les principes fondamentaux de la MPC, ses variantes telles que la MPC linéaire et non linéaire, ainsi que ses applications dans divers domaines industriels. Nous discuterons également des défis associés à la mise en œuvre de la MPC et des perspectives futures pour cette technologie prometteuse dans le domaine du contrôle automatique.

2 Fondements théoriques de la commande prédictive

2.1 Principes de base de la MPC

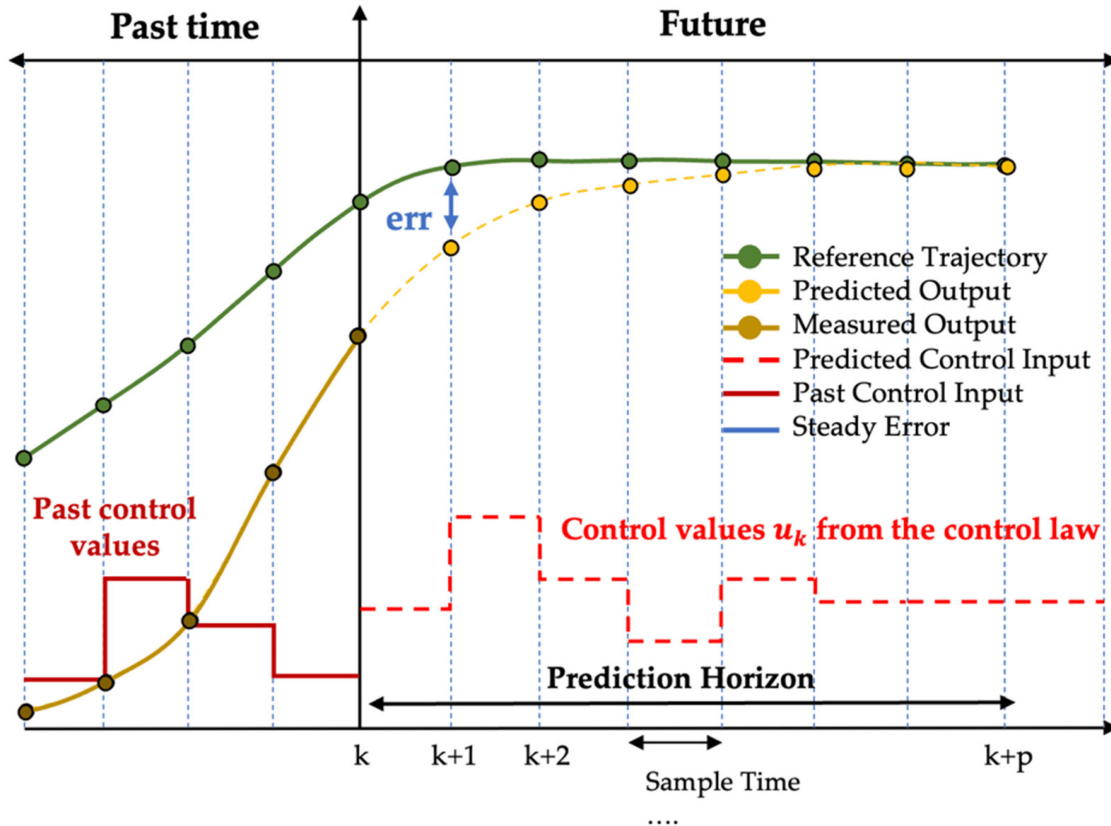


Figure 3.1: Schéma explicatif des principes de base de la MPC [6]

La commande prédictive (MPC) repose sur l'idée d'utiliser un modèle du système pour prédire l'évolution future des variables contrôlées. À chaque période d'échantillonnage, le contrôleur effectue un calcul des prédictions des variables contrôlées jusqu'à un horizon de temps prédéterminé, appelé horizon de prédiction, noté p .

Comme illustré dans la Figure 3.1, les principaux éléments de la commande prédictive incluent :

- **Horizon de prédiction (p) :** La durée pendant laquelle les prédictions sont effectuées. C'est un paramètre clé qui influence la performance et la complexité de l'algorithme MPC.
- **Trajectoire de référence :** La trajectoire que le système contrôlé doit suivre. Elle peut être définie en fonction des objectifs de contrôle souhaités.
- **Sortie prédite :** Les valeurs des variables contrôlées prédites par le modèle du système. Ces prédictions sont mises à jour à chaque période d'échantillonnage en fonction des nouvelles mesures et des actions de commande.

- **Sortie mesurée** : Les valeurs actuelles des variables contrôlées mesurées par les capteurs du système.
- **Temps passé** : La période antérieure à l'instant courant, représentée pour montrer l'évolution historique des variables du système.
- **Futur** : La période couvrant l'horizon de prédiction, où les prédictions sont effectuées pour optimiser les actions de commande.

Le principe de la commande prédictive est de résoudre un problème d'optimisation à chaque instant de temps, afin de minimiser une fonction de coût qui peut inclure des écarts par rapport à la trajectoire de référence et des efforts de commande. La solution de ce problème d'optimisation fournit une séquence d'actions de commande optimales pour l'horizon de prédiction, mais seul le premier élément de cette séquence est appliqué au système. À l'instant suivant, le processus est répété avec de nouvelles mesures et prédictions, ce qui permet au contrôleur MPC de s'adapter en temps réel aux variations du système et aux perturbations externes. [19]

2.2 Éléments d'une commande prédictive

La commande prédictive repose sur plusieurs éléments clés qui travaillent ensemble pour anticiper et optimiser les actions de commande. Ces éléments comprennent :

2.2.1 Modèle du Système

Le modèle du système est au cœur de la commande prédictive. Il peut être linéaire ou non linéaire, et doit capturer la dynamique du système de manière suffisamment précise pour permettre des prédictions fiables. Les modèles courants incluent :

- **Modèles linéaires** : Appropriés pour les systèmes avec une dynamique approximativement linéaire.
- **Modèles non linéaires** : Utilisés pour des systèmes complexes avec des comportements non linéaires significatifs.
- **Modèles à états d'espace** : Représentent le système à travers des variables d'état et des équations d'état.
- **Modèles basés sur des données** : Construits à partir de données historiques du système via des techniques d'identification de système ou d'apprentissage automatique.

2.2.2 Horizon de Prédiction

L'horizon de prédiction est la durée pendant laquelle les prédictions sont effectuées. Un horizon plus long permet de mieux anticiper les futurs comportements du système, mais augmente également la complexité computationnelle. Il est noté p .

2.2.3 Fonction de Coût

La fonction de coût J quantifie l'écart entre les prédictions du système et les objectifs de contrôle. Elle peut inclure des termes pour :

- **Erreur de suivi** : Écart entre les sorties prédites $y(k)$ et les trajectoires de référence $y_{\text{ref}}(k)$.
- **Effort de commande** : Magnitude des actions de commande $u(k)$ ou leurs variations $\Delta u(k)$.

Une fonction de coût typique est formulée comme suit :

$$J = \sum_{k=0}^{p-1} \left[\|y(k) - y_{\text{ref}}(k)\|_Q^2 + \|\Delta u(k)\|_R^2 \right]$$

où Q et R sont des matrices de pondération.

2.2.4 Problème d'Optimisation

À chaque période d'échantillonnage, un problème d'optimisation est résolu pour déterminer la séquence d'actions de commande optimale qui minimise la fonction de coût tout en respectant les contraintes du système. [17]

2.2.5 Contraintes

La MPC intègre explicitement diverses contraintes, notamment :

- **Contraintes sur les sorties** : Limites sur les valeurs des variables de sortie pour assurer la sécurité et le bon fonctionnement du système.
- **Contraintes sur les entrées** : Restrictions sur les actions de commande.
- **Contraintes sur les états** : Limites sur les états intermédiaires du système.

2.2.6 Mise à Jour en Temps Réel

La MPC fonctionne en boucle fermée, mettant à jour les prédictions et recalculant les commandes à chaque période d'échantillonnage en fonction des nouvelles mesures du système. Cela permet d'adapter continuellement les actions de commande pour répondre aux changements et aux perturbations.

2.2.7 Algorithmes d'Optimisation

Différents algorithmes peuvent être utilisés pour résoudre le problème d'optimisation de la MPC, incluant :

- **Méthodes basées sur le gradient** : Efficaces pour les problèmes convexes.
- **Méthodes de programmation quadratique (QP)** : Utilisées lorsque la fonction de coût est quadratique et les contraintes sont linéaires.

- **Algorithmes de points intérieurs** : Adaptés pour des problèmes avec des contraintes complexes.

Ces éléments travaillent ensemble pour permettre à la MPC d'anticiper les futurs états du système et de calculer des actions de commande optimales en temps réel, tout en respectant les contraintes et en optimisant les performances du système.

3 Commande prédictive linéaire (MPC-L)

Dans cette section, nous examinons le concept fondamental de la Commande Prédictive Linéaire (MPC-L) et son implémentation numérique.

3.1 LMPC : Formulation du Problème

Considérons le système linéaire invariant dans le temps à temps discret (LTI) suivant :

$$\mathbf{x}_{k+1} = \mathbf{A}\mathbf{x}_k + \mathbf{B}\mathbf{u}_k \quad (1)$$

où $k \in \mathbb{T} = \{0, 1, \dots, N_T - 1\}$ représente l'instant de temps discret, $\mathbf{x}_k \in \mathbb{X} \subseteq \mathbb{R}^n$ est le vecteur d'état, $\mathbf{u}_k \in \mathbb{U} \subseteq \mathbb{R}^m$ est le vecteur d'entrée de contrôle, $\mathbf{A} \in \mathbb{R}^{n \times n}$ est la matrice système et $\mathbf{B} \in \mathbb{R}^{n \times m}$ est la matrice d'entrée. Les ensembles \mathbb{X} et \mathbb{U} représentent les ensembles de contraintes pour les états et les entrées de contrôle, souvent définis par des inégalités linéaires :

$$\mathbb{X} = \{\mathbf{x} \in \mathbb{R}^n : \mathbf{F}_x \mathbf{x} \leq \mathbf{g}_x\} \quad (3.1)$$

$$\mathbb{U} = \{\mathbf{u} \in \mathbb{R}^m : \mathbf{F}_u \mathbf{u} \leq \mathbf{g}_u\} \quad (2)$$

La fonction coût est choisie comme une somme quadratique des états et des entrées de contrôle :

$$J = \mathbf{x}_{N_T}^T \mathbf{Q}_{N_T} \mathbf{x}_{N_T} + \sum_{k=0}^{N_T-1} \mathbf{x}_k^T \mathbf{Q} \mathbf{x}_k + \mathbf{u}_k^T \mathbf{R} \mathbf{u}_k \quad (3)$$

où $\mathbf{Q}_{N_T} \in \mathbb{R}^{n \times n}$, $\mathbf{Q} \in \mathbb{R}^{n \times n}$, $\mathbf{R} \in \mathbb{R}^{m \times m}$ sont les matrices de pondération utilisées pour pondérer relativement les états et les entrées de contrôle et doivent être choisies telles que $\mathbf{Q}_{N_T} \geq 0$, $\mathbf{Q} > 0$, $\mathbf{R} > 0$. La séquence d'états et de contrôle est définie comme $\mathbf{X} = (\mathbf{x}_0, \mathbf{x}_1, \dots, \mathbf{x}_{N_T})$, $\mathbf{U} = (\mathbf{u}_0, \mathbf{u}_1, \dots, \mathbf{u}_{N_T-1})$, qui contient les états et les entrées de contrôle sur l'horizon temporel. Maintenant, le problème de contrôle optimal pour le système LTI est défini comme suit, également connu sous le nom de problème de régulateur quadratique linéaire contraint (CLQR) :

3.2 Problème 1

Pour le système linéaire (1) avec l'état initial \mathbf{x}_0 , calculer la séquence de contrôle \mathbf{U} en résolvant le problème d'optimisation

$$\begin{aligned} & \inf_U J \\ \text{sous contrainte } & \mathbf{U} \in \mathbb{U}^{N_T}, \quad \mathbf{X} \in \mathbb{X}^{N_T+1} \\ & \mathbf{x}_{k+1} = \mathbf{A}\mathbf{x}_k + \mathbf{B}\mathbf{u}_k, \quad k \in \mathbb{T} \end{aligned} \quad (4)$$

À mesure que $N_T \rightarrow \infty$, le problème est appelé régulateur quadratique linéaire à horizon infini contraint (LQR infini). On peut résoudre le LQR contraint avec un horizon temporel large ($N_T \rightarrow \infty$) en utilisant l'approche MPC qui conduit généralement à des solutions sous-optimales avec moins de calculs. MPC utilise un horizon de prédiction $N \leq N_T$ (en pratique $N \ll N_T$) et à chaque instant, la séquence de contrôle pour les N instants suivants est calculée pour minimiser le coût sur les N instants suivants. La fonction coût pour le MPC avec un horizon de prédiction N à l'instant de temps k est définie comme suit

$$J_k = \mathbf{x}_{k+N|k}^T \mathbf{Q}_N \mathbf{x}_{k+N|k} + \sum_{i=k}^{k+N-1} \mathbf{x}_{i|k}^T \mathbf{Q} \mathbf{x}_{i|k} + \mathbf{u}_{i|k}^T \mathbf{R} \mathbf{u}_{i|k} \quad (5)$$

où $\mathbf{x}_{i|k}$, $\mathbf{u}_{i|k}$ désignent l'état et l'entrée de contrôle au moment i prédits ou calculés au moment k . Notez que k désigne les instants de temps dans l'horizon temporel et i désigne les instants de temps dans l'horizon de prédiction. De même, la séquence d'états et de contrôle pour le MPC à l'instant k est définie comme $\mathbf{X}_k = (\mathbf{x}_{k|k}, \mathbf{x}_{k+1|k}, \dots, \mathbf{x}_{k+N|k})$, $\mathbf{U}_k = (\mathbf{u}_{k|k}, \mathbf{u}_{k+1|k}, \dots, \mathbf{u}_{k+N-1|k})$. Ensuite, le problème MPC pour les systèmes linéaires est défini comme suit :

3.3 Problème 2

Pour le système linéaire (1) avec l'état actuel $\mathbf{x}_{k|k} = \mathbf{x}_k$ donné, calculer la séquence de contrôle \mathbf{U}_k , en résolvant le problème d'optimisation suivant

$$\begin{aligned} & \inf_{\mathbf{U}_k} J_k \\ \text{sous contrainte } & \mathbf{U}_k \in \mathbb{U}^N, \quad \mathbf{X}_k \in \mathbb{X}^{N+1}, \quad k \in \mathbb{T} \\ & \mathbf{x}_{i+1|k} = \mathbf{A}\mathbf{x}_{i|k} + \mathbf{B}\mathbf{u}_{i|k}, \quad k \in \mathbb{T}, i = k, \dots, k+N-1 \end{aligned} \quad (6)$$

3.4 LMPC : Algorithme

Dans cette sous-sous-section, nous représentons le problème d'optimisation MPC comme un problème de programmation quadratique. À partir de la solution de l'équation d'état pour les systèmes LTI, nous obtenons

$$\begin{bmatrix} \mathbf{x}_{k|k} \\ \mathbf{x}_{k+1|k} \\ \vdots \\ \mathbf{x}_{k+N|k} \end{bmatrix} = \begin{bmatrix} \mathbf{I} \\ \mathbf{A} \\ \vdots \\ \mathbf{A}^N \end{bmatrix} \mathbf{x}_k + \begin{bmatrix} \mathbf{0} & \mathbf{0} & \dots & \mathbf{0} \\ \mathbf{B} & \mathbf{0} & \dots & \mathbf{0} \\ \vdots & \vdots & \ddots & \vdots \\ \mathbf{A}^{N-1}\mathbf{B} & \mathbf{A}^{N-2}\mathbf{B} & \dots & \mathbf{B} \end{bmatrix} \begin{bmatrix} \mathbf{u}_{k|k} \\ \mathbf{u}_{k+1|k} \\ \vdots \\ \mathbf{u}_{k+N-1|k} \end{bmatrix} \quad (7)$$

En définissant les matrices suivantes

$$\mathbf{X}_k = \begin{bmatrix} \mathbf{x}_{k|k} \\ \mathbf{x}_{k+1|k} \\ \vdots \\ \mathbf{x}_{k+N|k} \end{bmatrix}, \quad \mathbf{U}_k = \begin{bmatrix} \mathbf{u}_{k|k} \\ \mathbf{u}_{k+1|k} \\ \vdots \\ \mathbf{u}_{k+N-1|k} \end{bmatrix}, \quad \mathbf{A}_X = \begin{bmatrix} \mathbf{I} \\ \mathbf{A} \\ \vdots \\ \mathbf{A}^N \end{bmatrix}, \quad \mathbf{B}_U = \begin{bmatrix} \mathbf{0} & \mathbf{0} & \dots & \mathbf{0} \\ \mathbf{B} & \mathbf{0} & \dots & \mathbf{0} \\ \vdots & \vdots & & \vdots \\ \mathbf{A}^{N-1}\mathbf{B} & \mathbf{A}^{N-2}\mathbf{B} & \dots & \mathbf{B} \end{bmatrix} \quad (8)$$

l'équation (7) est réécrite comme

$$\mathbf{X}_k = \mathbf{A}_X \mathbf{x}_k + \mathbf{B}_U \mathbf{U}_k \quad (9)$$

Cela indique que l'état prédit \mathbf{X}_k peut être représenté comme une fonction de l'état actuel \mathbf{x}_k et de la séquence d'entrée \mathbf{U}_k . De même, en définissant

$$\mathbf{Q}_X = \begin{bmatrix} \mathbf{Q} & \dots & \mathbf{0} & \mathbf{0} \\ \vdots & & \vdots & \vdots \\ \mathbf{0} & \dots & \mathbf{Q} & \mathbf{0} \\ \mathbf{0} & \dots & \mathbf{0} & \mathbf{Q}_N \end{bmatrix}, \quad \mathbf{R}_U = \begin{bmatrix} \mathbf{R} & \mathbf{0} & \dots & \mathbf{0} \\ \mathbf{0} & \mathbf{R} & \dots & \mathbf{0} \\ \vdots & \vdots & & \vdots \\ \mathbf{0} & \mathbf{0} & \dots & \mathbf{R} \end{bmatrix} \quad (10)$$

la fonction de coût (5) peut être représentée en termes de \mathbf{X}_k et \mathbf{U}_k comme

$$J_k = \mathbf{X}_k^T \mathbf{Q}_X \mathbf{X}_k + \mathbf{U}_k^T \mathbf{R}_U \mathbf{U}_k \quad (11)$$

Enfin, en définissant

$$\mathbf{F}_X = \begin{bmatrix} \mathbf{F}_X & \mathbf{0} & \dots & \mathbf{0} \\ \mathbf{0} & \mathbf{F}_x & \dots & \mathbf{0} \\ \vdots & \vdots & & \vdots \\ \mathbf{0} & \mathbf{0} & \dots & \mathbf{F}_x \end{bmatrix}, \quad \mathbf{g}_X = \begin{bmatrix} \mathbf{g}_x \\ \mathbf{g}_x \\ \vdots \\ \mathbf{g}_x \end{bmatrix}, \quad \mathbf{F}_U = \begin{bmatrix} \mathbf{F}_u & \mathbf{0} & \dots & \mathbf{0} \\ \mathbf{0} & \mathbf{F}_u & \dots & \mathbf{0} \\ \vdots & \vdots & & \vdots \\ \mathbf{0} & \mathbf{0} & \dots & \mathbf{F}_u \end{bmatrix}, \quad \mathbf{g}_U = \begin{bmatrix} \mathbf{g}_u \\ \mathbf{g}_u \\ \vdots \\ \mathbf{g}_u \end{bmatrix} \quad (12)$$

les contraintes d'état et de contrôle dans (2) peuvent être représentées en termes de \mathbf{X}_k et \mathbf{U}_k comme

$$\begin{aligned} \mathbf{F}_X \mathbf{X}_k &\leq \mathbf{g}_X \\ \mathbf{F}_U \mathbf{U}_k &\leq \mathbf{g}_U \end{aligned} \quad (13)$$

En combinant \mathbf{X}_k et \mathbf{U}_k , nous pouvons représenter la fonction de coût avec un vecteur de décision unique. Pour cela, nous définissons

$$\mathbf{z} = \begin{bmatrix} \mathbf{X}_k \\ \mathbf{U}_k \end{bmatrix}, \quad \mathbf{H} = \begin{bmatrix} \mathbf{Q}_X & \mathbf{0} \\ \mathbf{0} & \mathbf{R}_U \end{bmatrix}, \quad \mathbf{F} = \begin{bmatrix} \mathbf{F}_X & \mathbf{0} \\ \mathbf{0} & \mathbf{F}_U \end{bmatrix}, \quad \mathbf{g} = \begin{bmatrix} \mathbf{g}_X \\ \mathbf{g}_U \end{bmatrix}, \quad \mathbf{F}_{eq} = \begin{bmatrix} \mathbf{I} & -\mathbf{B}_U \end{bmatrix}, \quad \mathbf{g}_{eq} = \mathbf{A}_X \mathbf{x}_k \quad (14)$$

en utilisant cela, nous pouvons reformuler la fonction de coût (11) et les contraintes (9), (13) et représenter

le problème d'optimisation (6) comme un problème de programmation quadratique comme suit

$$\begin{aligned} & \inf_{\mathbf{z}} \mathbf{z}^T \mathbf{H} \mathbf{z} \\ & \text{soumis à } \mathbf{F} \mathbf{z} \leq \mathbf{g} \\ & \mathbf{F}_{eq} \mathbf{z} = \mathbf{g}_{eq} \end{aligned} \quad (15)$$

qui peut être résolu en utilisant des algorithmes standard d'optimisation numérique tels que la méthode du gradient steepest, la méthode de Newton, etc. Pour une convergence plus rapide de la méthode d'optimisation numérique, la solution optimale pour l'instant actuel peut être utilisée comme condition initiale pour l'instant suivant. Notez que ici \mathbf{g}_{eq} est une fonction du vecteur d'état \mathbf{x}_k . Par conséquent, les informations sur l'état actuel sont nécessaires pour résoudre le problème d'optimisation. Dans le MPC, ce problème d'optimisation est résolu à chaque instant de temps k et le premier élément de \mathbf{U}_k^* est appliqué au système, c'est-à-dire que l'entrée de contrôle avec le MPC est

$$\mathbf{u}_k = [\mathbf{U}_k^*]_1 = \mathbf{u}_{k|k}^* \quad (16)$$

Notez que cet algorithme est basé sur l'hypothèse selon laquelle une séquence de contrôle optimale existe à chaque instant de temps. L'existence d'une séquence de contrôle optimale dépend du modèle du système et des contraintes, et cela sera discuté dans la section sur l'analyse de faisabilité. L'algorithme pour le MPC linéaire est donné ci-dessous :

Algorithm 1 : LMPC

1. Require $\mathbf{A}, \mathbf{B}, N_T, N, n, m, \mathbf{Q}, \mathbf{R}, \mathbf{Q}_{N_T}, \mathbf{F}_x, \mathbf{g}_x, \mathbf{F}_u, \mathbf{g}_u$
2. Initialize $\mathbf{x}_0, \mathbf{z}_0$
3. Construct $\mathbf{A}_X, \mathbf{B}_U, \mathbf{Q}_X, \mathbf{R}_U, \mathbf{H}, \mathbf{F}, \mathbf{g}$
4. For $k = 0$ to $N_T - 1$ do
 - (a) $\mathbf{x}_k = [\mathbf{X}]_{k+1}$ (obtain \mathbf{x}_k from measurement or estimation)
 - (b) Compute $\mathbf{F}_{eq}, \mathbf{g}_{eq}$
 - (c) Compute $\mathbf{z}^* = \begin{bmatrix} \mathbf{X}_k^* \\ \mathbf{U}_k^* \end{bmatrix}$ by solving the optimization problem (15)
 - (d) Apply $\mathbf{u}_k = [\mathbf{U}_k^*]_1$ to the system
 - (e) Update $\mathbf{z}_0 = \mathbf{z}^*$

5. End for

Le problème d'optimisation peut être résolu à l'aide de la fonction MATLAB `fmincon` pour résoudre des problèmes d'optimisation contraints qui sont de la forme

$$\mathbf{z}^* = \text{fmincon}(f, \mathbf{z}_0, \mathbf{F}, \mathbf{g}, \mathbf{F}_{\text{eq}}, \mathbf{g}_{\text{eq}}, \mathbf{lb}, \mathbf{ub}) \quad (17)$$

dans lequel \mathbf{lb} , \mathbf{ub} sont les vecteurs contenant la borne inférieure et la borne supérieure de chaque élément du vecteur de décision \mathbf{z} .

3.5 Réduction du calcul en ligne

Ici, nous discutons de quelques méthodes pour réduire le calcul en ligne, où l'idée de base est de réduire le nombre de variables d'optimisation et de contraintes. La première méthode utilise l'idée d'éliminer les états du vecteur de décision \mathbf{z} . Cette méthode est utile lorsque seules des contraintes de contrôle existent, c'est-à-dire que l'état est non contraint $\mathbf{x}_k \in \mathbb{R}^n$ ou que les contraintes d'état peuvent être transférées aux contraintes de contrôle. À partir de (11), le coût J_k est une fonction de la séquence d'états \mathbf{X}_k et de la séquence de contrôle \mathbf{U}_k . En substituant (9) dans (11), nous obtenons

$$\begin{aligned} J_k &= [\mathbf{A}_X \mathbf{x}_k + \mathbf{B}_U \mathbf{U}_k]^T \mathbf{Q}_X [\mathbf{A}_X \mathbf{x}_k + \mathbf{B}_U \mathbf{U}_k] + \mathbf{U}_k^T \mathbf{R}_U \mathbf{U}_k \\ &= \mathbf{U}_k^T [\mathbf{B}_U^T \mathbf{Q}_X \mathbf{B}_U + \mathbf{R}_U] \mathbf{U}_k + 2\mathbf{x}_k^T [\mathbf{A}_X^T \mathbf{Q}_X \mathbf{B}_U] \mathbf{U}_k + \mathbf{x}_k^T [\mathbf{A}_X^T \mathbf{Q}_X \mathbf{A}_X] \mathbf{x}_k \\ &= \mathbf{U}_k^T \mathbf{H} \mathbf{U}_k + \mathbf{q}_k^T \mathbf{U}_k + r_k \end{aligned} \quad (18)$$

où $\mathbf{H} = \mathbf{B}_U^T \mathbf{Q}_X \mathbf{B}_U + \mathbf{R}_U$, $\mathbf{q}_k^T = 2\mathbf{x}_k^T \mathbf{A}_X^T \mathbf{Q}_X \mathbf{B}_U$ et $r_k = \mathbf{x}_k^T \mathbf{A}_X^T \mathbf{Q}_X \mathbf{A}_X \mathbf{x}_k$. Par conséquent, nous pouvons représenter le coût J_k comme une fonction de l'état actuel \mathbf{x}_k et de la séquence de contrôle \mathbf{U}_k , dans laquelle \mathbf{U}_k est le vecteur de décision. De même, les inégalités de contrainte (13) peuvent être réécrites comme

$$\begin{aligned} \mathbf{F}_X [\mathbf{A}_X \mathbf{x}_k + \mathbf{B}_U \mathbf{U}_k] \leq \mathbf{g}_X &\implies \mathbf{F}_X \mathbf{B}_U \mathbf{U}_k \leq \mathbf{g}_X - \mathbf{F}_X \mathbf{A}_X \mathbf{x}_k \\ \mathbf{F}_U \mathbf{U}_k &\leq \mathbf{g}_U \end{aligned} \quad (19)$$

En définissant $\mathbf{z} = \mathbf{U}_k$, $\mathbf{F} = \begin{bmatrix} \mathbf{F}_X \mathbf{B}_U \\ \mathbf{F}_U \end{bmatrix}$, $\mathbf{g} = \begin{bmatrix} \mathbf{g}_X - \mathbf{F}_X \mathbf{A}_X \mathbf{x}_k \\ \mathbf{g}_U \end{bmatrix}$, nous pouvons représenter le problème d'optimisation (15) comme un problème de programmation quadratique comme suit

$$\begin{aligned} \min_{\mathbf{z}} \mathbf{z}^T \mathbf{H} \mathbf{z} + \mathbf{q}_k^T \mathbf{z} + r_k \\ \text{sous contrainte } \mathbf{F} \mathbf{z} \leq \mathbf{g} \end{aligned} \quad (20)$$

Notez que ici, les paramètres \mathbf{q}_k, r_k et \mathbf{g} sont des fonctions de \mathbf{x}_k . Par conséquent, les informations sur l'état actuel sont nécessaires pour résoudre ce problème d'optimisation.

Une autre façon de réduire le calcul en ligne est d'utiliser un horizon de contrôle N_C inférieur à l'horizon de prédiction N . Cela réduit également le nombre de variables d'optimisation. Dans ce cas, nous définissons la séquence de contrôle comme $\mathbf{U}_k = (\mathbf{u}_{k|k}, \dots, \mathbf{u}_{k+N_C-1|k}, \mathbf{0}, \dots, \mathbf{0})$ et cela réduit le nombre de variables de décision dans \mathbf{z} à mN_C .

3.6 LMPC : Suivi du point de consigne

Jusqu'à présent, nous avons considéré le problème de stabilisation dans MPC pour lequel la référence $\mathbf{x}_r = 0$. Dans cette section, nous discutons du problème de suivi du point de consigne pour lequel la référence $\mathbf{x}_r \neq 0$, et l'objectif est de suivre le point de consigne non nul. Pour la référence non nulle \mathbf{x}_r , la valeur à l'état stable de l'entrée de commande sera non nulle, c'est-à-dire $\mathbf{u}_r \neq 0$ et à l'état stable, nous avons $\mathbf{x}_{k+1} = \mathbf{x}_k = \mathbf{x}_r$. En substituant cela dans (1), nous obtenons

$$\mathbf{x}_r = \mathbf{A}\mathbf{x}_r + \mathbf{B}\mathbf{u}_r \implies \mathbf{u}_r = \mathbf{B}^{-1}(\mathbf{I} - \mathbf{A})\mathbf{x}_r \quad (21)$$

où \mathbf{B}^{-1} est la pseudo-inverse. Le suivi du point de consigne peut être transféré à un problème de stabilisation en définissant l'état d'erreur et le contrôle $\mathbf{x}_{e_k} = \mathbf{x}_k - \mathbf{x}_r, \mathbf{u}_{e_k} = \mathbf{u}_k - \mathbf{u}_r$ et en considérant la dynamique d'erreur pour la conception de MPC qui donne

$$\begin{aligned} \mathbf{x}_{e_{k+1}} &= \mathbf{x}_{k+1} - \mathbf{x}_r = \mathbf{A}\mathbf{x}_k + \mathbf{B}\mathbf{u}_k - \mathbf{x}_r = \mathbf{A}\mathbf{x}_k - \mathbf{A}\mathbf{x}_r + \mathbf{B}\mathbf{u}_k - \mathbf{x}_r + \mathbf{A}\mathbf{x}_r \\ &= \mathbf{A}[\mathbf{x}_k - \mathbf{x}_r] + \mathbf{B}[\mathbf{u}_k - \mathbf{B}^{-1}(\mathbf{I} - \mathbf{A})\mathbf{x}_r] = \mathbf{A}\mathbf{x}_{e_k} + \mathbf{B}\mathbf{u}_{e_k} \end{aligned} \quad (22)$$

En utilisant les vecteurs d'état d'erreur et de contrôle, les contraintes peuvent être réécrites comme

$$\begin{aligned} \mathbf{F}_x \mathbf{x} \leq \mathbf{g}_x &\implies \mathbf{F}_x (\mathbf{x}_{e_k} + \mathbf{x}_r) \leq \mathbf{g}_x \implies \mathbf{F}_x \mathbf{x}_{e_k} \leq \mathbf{g}_x - \mathbf{F}_x \mathbf{x}_r \\ \mathbf{F}_u \mathbf{u} \leq \mathbf{g}_u &\implies \mathbf{F}_u (\mathbf{u}_{e_k} + \mathbf{u}_r) \leq \mathbf{g}_u \implies \mathbf{F}_u \mathbf{u}_{e_k} \leq \mathbf{g}_u - \mathbf{F}_u \mathbf{u}_r \end{aligned} \quad (23)$$

Maintenant, les matrices $\mathbf{F}_x, \mathbf{g}_x, \mathbf{F}_u, \mathbf{g}_u$ peuvent être définies comme dans (12) dans lequel $\mathbf{g}_x, \mathbf{g}_u$ sont remplacés par $\mathbf{g}_x - \mathbf{F}_x \mathbf{x}_r, \mathbf{g}_u - \mathbf{F}_u \mathbf{u}_r$. Nous définissons $\mathbf{z} = \begin{bmatrix} \mathbf{X}_{e_k} \\ \mathbf{U}_{e_k} \end{bmatrix} = \begin{bmatrix} \mathbf{X}_k - \mathbf{X}_r \\ \mathbf{U}_k - \mathbf{U}_r \end{bmatrix}$ et le problème d'optimisation est obtenu comme dans (15), résolvant lequel l'entrée de commande optimale pour le problème MPC est obtenue comme

$$\mathbf{u}_k = \begin{bmatrix} \mathbf{U}_{e_k}^* \end{bmatrix}_1 + \mathbf{u}_r \quad (24)$$

3.7 LMPC : Exemples numériques

Nous considérons un système LTI avec les matrices système et d'entrée suivantes :

$$\mathbf{A} = \begin{bmatrix} 0.9 & 0.2 \\ -0.4 & 0.8 \end{bmatrix} \quad \mathbf{B} = \begin{bmatrix} 0.1 \\ 0.01 \end{bmatrix} \quad (25)$$

Les paramètres de simulation sont choisis comme suit : $N_T = 50$, $N = 5$, $\mathbf{Q} = \mathbf{I}_2$, $\mathbf{R} = 1$ et $\mathbf{x}_0 = [10 \ 5]^T$. L'ensemble de contraintes est défini comme dans (2) avec

$$\mathbf{F}_x = \begin{bmatrix} 1 & 0 \\ 0 & 1 \\ -1 & 0 \\ 0 & -1 \end{bmatrix} \quad \mathbf{g}_x = \begin{bmatrix} 10 \\ 10 \\ 10 \\ 10 \end{bmatrix} \quad \mathbf{F}_u = \begin{bmatrix} 1 \\ -1 \end{bmatrix} \quad \mathbf{g}_u = \begin{bmatrix} 1 \\ 1 \end{bmatrix} \quad (26)$$

ce qui est équivalent à $-10 \leq x_{1k} \leq 10$, $-10 \leq x_{2k} \leq 10$, $-1 \leq u_k \leq 1$. La réponse du système LTI avec le schéma MPC est présentée dans la Fig. 2(a). La réponse montre que les états convergent vers l'origine et que les contraintes sont satisfaites. De même, pour le problème de suivi de point de consigne, la référence d'état est choisie comme $\mathbf{x}_r = [3 \ 2]^T$ pour laquelle l'entrée de commande à l'état stable est obtenue en résolvant (21) pour le système linéaire (25), ce qui donne $u_r = 0.59$, satisfaisant ainsi les contraintes de commande. La réponse de la simulation pour le suivi du point de consigne est présentée dans la Fig 3.2, montrant que l'état converge vers la référence souhaitée.

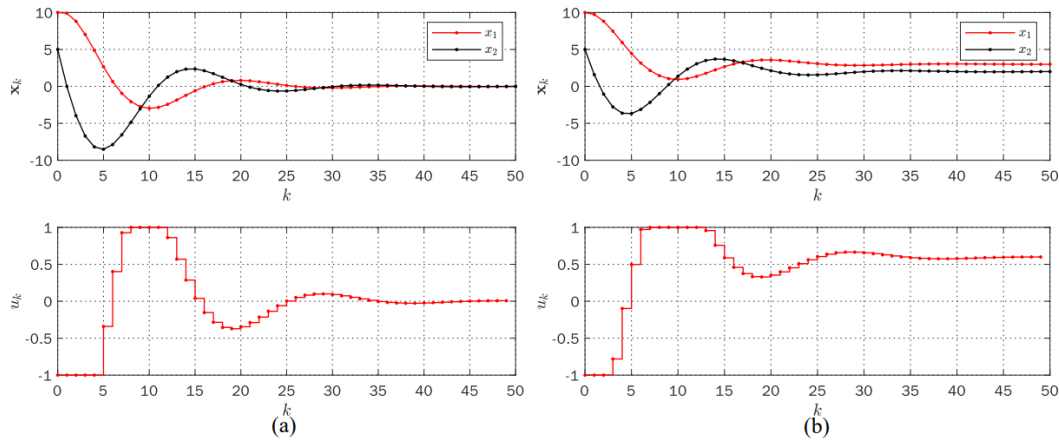


Figure 3.2: Réponse LMPC (a) Stabilisation (b) Suivi du point de consigne.

4 Commande prédictive non linéaire (NMPC)

Dans cette section, nous examinons le concept fondamental et l'implémentation numérique de la Commande Prédictive Non Linéaire (NMPC).

4.1 NMPC : Formulation du problème

Considérons le système non linéaire en temps discret défini par l'équation d'état :

$$\mathbf{x}_{k+1} = \mathbf{f}(\mathbf{x}_k, \mathbf{u}_k) \quad (27)$$

où $k \in \{0, 1, \dots, N_T - 1\}$ est l'instant de temps discret, $\mathbf{x}_k \in \mathbb{X} \subseteq \mathbb{R}^n$ est le vecteur d'état, $\mathbf{u}_k \in \mathbb{U} \subseteq \mathbb{R}^m$ est le vecteur d'entrée, et $\mathbf{f} : \mathbb{X} \times \mathbb{U} \rightarrow \mathbb{X}$ est l'application non linéaire qui mappe l'état actuel \mathbf{x}_k vers l'état suivant \mathbf{x}_{k+1} sous l'action de commande \mathbf{u}_k . Les ensembles de contraintes \mathbb{X} et \mathbb{U} sont définis comme dans (2), et la fonction coût est choisie comme une fonction quadratique comme dans (5). Alors, le problème MPC pour les systèmes non linéaires est défini comme suit :

Problème 3. Pour le système non linéaire (27) avec l'état actuel $\mathbf{x}_{k|k} = \mathbf{x}_k$, calculer la séquence de commande \mathbf{U}_k en résolvant le problème d'optimisation suivant :

$$\begin{aligned} & \inf_{\mathbf{U}_k} J_k \\ & \text{sous contraintes } \mathbf{U}_k \in \mathbb{U}^N, \quad \mathbf{X}_k \in \mathbb{X}^{N+1}, \quad k \in \mathbb{T} \\ & \mathbf{x}_{i+1|k} = \mathbf{f}(\mathbf{x}_{i|k}, \mathbf{u}_{i|k}), \quad k \in \mathbb{T}, i = k, \dots, k + N - 1 \end{aligned} \quad (28)$$

4.2 NMPC : Algorithme

En définissant \mathbf{X}_k et \mathbf{U}_k comme dans (8), nous pouvons réécrire la fonction coût et les contraintes pour le problème NMPC non linéaire comme suit :

$$J_k = \mathbf{X}_k^T \mathbf{Q}_X \mathbf{X}_k + \mathbf{U}_k^T \mathbf{R}_U \mathbf{U}_k \quad (29)$$

et

$$\begin{aligned} & \mathbf{F}_X \mathbf{X}_k \leq \mathbf{g}_X \\ & \mathbf{F}_U \mathbf{U}_k \leq \mathbf{g}_U \\ & \mathbf{f}_{eq}(\mathbf{X}_k, \mathbf{U}_k) = 0 \end{aligned} \quad (30)$$

où

$$\mathbf{f}_{eq}(\mathbf{X}_k, \mathbf{U}_k) = \begin{bmatrix} \mathbf{x}_{k|k} - \mathbf{x}_k \\ \mathbf{x}_{k+1|k} - \mathbf{f}(\mathbf{x}_{k|k}, \mathbf{u}_{k|k}) \\ \vdots \\ \mathbf{x}_{k+N|k} - \mathbf{f}(\mathbf{x}_{k+N-1|k}, \mathbf{u}_{k+N-1|k}) \end{bmatrix} \quad (31)$$

Maintenant, en définissant \mathbf{z} , \mathbf{H} , \mathbf{F} , \mathbf{g} comme dans (14), le problème d'optimisation est représenté comme un problème de programmation non linéaire comme suit :

$$\begin{aligned} & \inf_{\mathbf{z}} \mathbf{z}^T \mathbf{H} \mathbf{z} \\ & \text{sous contraintes } \mathbf{F} \mathbf{z} \leq \mathbf{g} \\ & \mathbf{f}_{eq}(\mathbf{z}) = 0 \end{aligned} \quad (32)$$

Ici, la contrainte d'égalité est non linéaire, ce qui rend le problème d'optimisation un problème de programmation non linéaire. En MPC, ce problème d'optimisation est résolu à chaque instant de temps k , et le premier élément de \mathbf{U}_k^* est appliqué au système, c'est-à-dire que l'entrée de commande avec MPC est :

$$\mathbf{u}_k = [\mathbf{U}_k^*]_1 = \mathbf{u}_{k|k}^* \quad (33)$$

L'algorithme pour la NMPC est résumé ci-dessous :

Algorithm 2 : NMPC

1. Require \mathbf{f} , N_T , N , n , m , \mathbf{Q} , \mathbf{R} , \mathbf{Q}_{N_T} , \mathbf{F}_x , \mathbf{g}_x , \mathbf{F}_u , \mathbf{g}_u
2. Initialize \mathbf{x}_0 , \mathbf{z}_0
3. Construct \mathbf{Q}_x , \mathbf{R}_u , \mathbf{H} , \mathbf{F} , \mathbf{g}
4. For $k = 0$ to $N_T - 1$ do
 - (a) $\mathbf{x}_k = [\mathbf{X}]_{k+1}$ (obtain \mathbf{x}_k from measurement or estimation)
 - (b) Compute $\mathbf{z}^* = \begin{bmatrix} \mathbf{X}_k^* \\ \mathbf{U}_k^* \end{bmatrix}$ by solving the optimization problem (32)
 - (c) Apply $\mathbf{u}_k = [\mathbf{U}_k^*]_1$ to the system
 - (d) Update $\mathbf{z}_0 = \mathbf{z}^*$
5. End for

Le problème d'optimisation (32) peut être résolu en utilisant la fonction MATLAB pour résoudre les problèmes d'optimisation sous contraintes :

$$\mathbf{z}^* = \text{fmincon}(f, \mathbf{z}_0, \mathbf{F}, \mathbf{g}, \mathbf{lb}, \mathbf{ub}, \mathbf{f}_{eq}) \quad (34)$$

4.3 NMPC : Suivi de point de consigne

Ici, nous discutons du problème de suivi de point de consigne pour les systèmes non linéaires pour lesquels la référence $\mathbf{x}_r \neq 0$. La valeur de référence ou la valeur d'état stable de l'entrée de commande \mathbf{u}_r est calculée en résolvant l'équation à l'état stable suivante :

$$\mathbf{x}_r = \mathbf{f}(\mathbf{x}_r, \mathbf{u}_r) \quad (35)$$

En définissant l'état d'erreur et le vecteur de commande comme $\mathbf{x}_{e_k} = \mathbf{x}_k - \mathbf{x}_r$, $\mathbf{u}_{e_k} = \mathbf{u}_k - \mathbf{u}_r$, les contraintes peuvent être réécrites comme dans (23). De même, la contrainte d'égalité devient :

$$\mathbf{x}_{e_{k+1}} = \mathbf{f}(\mathbf{x}_k, \mathbf{u}_k) - \mathbf{x}_r = \mathbf{f}(\mathbf{x}_{e_k} + \mathbf{x}_r, \mathbf{u}_{e_k} + \mathbf{u}_r) - \mathbf{x}_r \quad (36)$$

Maintenant, en définissant $\mathbf{z} = \begin{bmatrix} \mathbf{X}_{e_e} \\ \mathbf{U}_{e_k} \end{bmatrix} = \begin{bmatrix} \mathbf{X}_k - \mathbf{X}_r \\ \mathbf{U}_k - \mathbf{U}_r \end{bmatrix}$, le problème d'optimisation est obtenu comme dans (32), en résolvant lequel l'entrée de commande optimale pour le problème MPC est obtenue comme suit :

$$\mathbf{u}_k = [\mathbf{U}_{e_k}^*]_1 + \mathbf{u}_r \quad (37)$$

4.4 NMPC : Exemples numériques

Nous considérons le modèle en temps discret du système de pendule simple défini par l'équation d'état :

$$\mathbf{x}_{k+1} = \mathbf{f}(\mathbf{x}_k, \mathbf{u}_k) = \begin{bmatrix} x_{1k} + T x_{2k} \\ x_{2k} + T \left(-\frac{g}{l} \sin(x_{1k}) - \frac{B}{Ml^2} x_{2k} + \frac{1}{Ml^2} u_k \right) \end{bmatrix} \quad (38)$$

où M est la masse du pendule simple, B est le coefficient de frottement, l est la longueur du pendule, g est l'accélération due à la gravité et T est le temps d'échantillonnage. Les paramètres du système sont choisis comme $M = 1$, $B = 1$, $l = 1$, $g = 9.8$, $T = 0.1$, et les paramètres de simulation sont $\mathbf{Q} = \mathbf{I}_2$, $\mathbf{R} = 1$, et $\mathbf{x}_0 = [2 \ 1]^T$. Les paramètres de l'ensemble de contraintes sont définis comme suit :

$$\mathbf{F}_x = \begin{bmatrix} 1 & 0 \\ 0 & 1 \\ -1 & 0 \\ 0 & -1 \end{bmatrix} \quad \mathbf{g}_x = \begin{bmatrix} 5 \\ 5 \\ 5 \\ 5 \end{bmatrix} \quad \mathbf{F}_u = \begin{bmatrix} 1 \\ -1 \end{bmatrix} \quad \mathbf{g}_u = \begin{bmatrix} 0.1 \\ 0 \end{bmatrix} \quad (39)$$

ce qui est équivalent à $-5 \leq x_{1k} \leq 5$, $-5 \leq x_{2k} \leq 5$, $0 \leq u_k \leq 0.1$. La réponse du pendule simple avec

le schéma MPC est présentée dans la figure 3(a). La réponse montre que les états convergent vers l'origine et que les contraintes sont satisfaites. De même, pour le problème de suivi de point de consigne, la référence d'état est choisie comme $\mathbf{x}_r = [0.5 \ 0]^T$ pour laquelle l'entrée de commande à l'état stable est obtenue en résolvant (36) pour le système non linéaire (38), ce qui donne $u_r = Mgl \sin(x_{1,r}) = 4.69$. Ainsi, nous fixons la valeur maximale de l'entrée de commande à 5 pour le problème de suivi de point de consigne. La réponse de la simulation pour le suivi de point de consigne est donnée dans la figure 3.3, montrant que l'état converge vers la référence désirée.

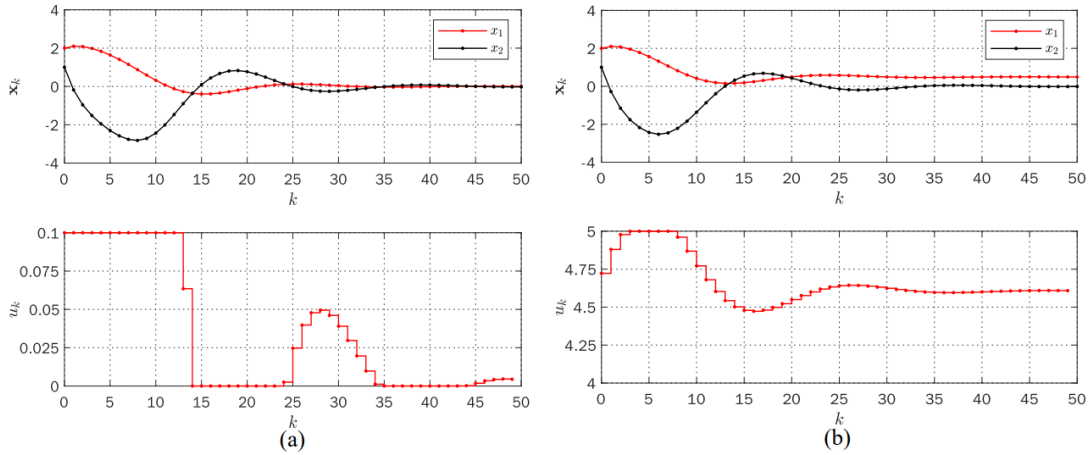


Figure 3.3: Réponse du NMPC (a) Stabilisation (b) Suivi du point de consigne.

Conclusion

La commande prédictive (MPC) représente une méthode avancée et efficace pour le contrôle des systèmes dynamiques, offrant des avantages significatifs en termes de précision, de robustesse et d'optimisation par rapport aux méthodes traditionnelles. Ce mémoire a exploré en détail les fondements théoriques de la MPC, ses variantes et ses applications industrielles, ainsi que les défis importants auxquels elle est confrontée.

L'analyse des principes de base de la MPC a démontré comment elle utilise des modèles prédictifs et des algorithmes d'optimisation pour anticiper les comportements futurs du système et calculer des actions de commande optimales. Les variantes telles que la MPC-L, la NMPC et l'EMPC ont été examinées, mettant en lumière leurs différences dans la modélisation et la résolution des problèmes d'optimisation.

Les applications industrielles ont illustré la diversité des domaines où la MPC est appliquée avec succès, de l'industrie chimique à l'automobile en passant par l'énergie et l'aérospatiale. Des exemples concrets ont montré comment la MPC améliore les performances opérationnelles, optimise les ressources et répond aux exigences spécifiques de chaque système.

Cependant, malgré ses avantages, la MPC présente des limitations telles que la complexité computationnelle et les défis liés à la robustesse et à l'adaptabilité dans des environnements réels. Ces aspects doivent être soigneusement considérés lors de la conception et de l'implémentation de systèmes de commande basés sur la MPC.

En conclusion, la commande prédictive continue d'être une méthode de choix pour le contrôle avancé des systèmes dynamiques, offrant des perspectives prometteuses pour l'amélioration continue des performances et la gestion efficace des processus industriels. Son évolution future dépendra de progrès supplémentaires dans les algorithmes d'optimisation, la modélisation des systèmes et l'intégration avec les technologies émergentes.

Chapitre 4

Application de la commande MPC sur le systeme d'osmose inverse

Chapitre 04

Application de la commande MPC sur le système d'osmose inverse

1 Introduction

Ce chapitre présente les résultats de simulation de la commande prédictive optimale appliquée au système d'osmose inverse. La commande est testée sur le modèle de simulation. Le processus de simulation permet de tester et valider les commandes proposées avant leur implémentation sur le système réel. Pour la simulation, nous avons utilisé MATLAB avec la bibliothèque CasADi, qui joue un rôle crucial pour ce type de problème.

2 Le modèle non linéaire du système d'osmose inverse

Dans cette section, nous allons présenter le modèle non linéaire du système d'osmose inverse, sur lequel nous allons appliquer notre commande (la commande prédictive optimale).

Tout d'abord, nous devons choisir les variables d'entrées et de sorties ainsi que les états de notre modèle.

variable d'entrée:

la différence de pression à travers la membrane joue un rôle très important sur le comportement de toutes nos grandeurs (les concentrations C_f et C_p , les flux) et donc nous avons la choisir comme une variable d'entrée.

- $U: \Delta p$: différence de pression à travers la membrane

variable de sortie:

Le flux de solvant J_w nous donne une bonne image du rendement du système d'osmose inverse. Il représente le résultat de la membrane, et nous l'avons donc choisi comme variable de sortie.

- $Y: J_w$: le flux de solvant.

les états du système:

Dans notre modèle, nous avons deux équations différentielles représentant la concentration d'alimentation et la concentration moyenne du perméat :

- $X_1: C_f$: la concentration d'alimentation .
- $X_2: C_{pav}$: la concentration moyenne du perméat.

Après le choix des différentes variables le modèle devient :

Les constantes sont définies comme suit :

$$\begin{aligned}
 Vf_0 &= 1.5 \text{ m}^3 \\
 Cw &= 1.0 \times 10^3 \text{ kg/m}^3 \\
 Sa &= 0.181 \text{ m}^2 \\
 Aw &= 4.20 \times 10^{-13} \text{ h/m} \\
 Bs &= 1.12 \times 10^{-4} \text{ m/h} \\
 \phi &= 1.02 \times 10^{12} \text{ m}^2/\text{h}^2 \\
 X1_0 &= 2 \text{ kg/m}^3
 \end{aligned}$$

Le système d'équations différentielles est donné par :

$$\frac{dx_1}{dt} = \frac{\left(\frac{Sa \cdot Aw \cdot U}{Cw} \cdot x_1 - \frac{Sa \cdot Aw \cdot \phi}{Cw} \cdot x_1^2 + \frac{\frac{Sa \cdot Aw \cdot \phi}{Cw} \cdot x_1^2}{1 + \frac{Aw \cdot U}{Bs \cdot Cw} - \frac{Aw \cdot \phi}{Bs \cdot Cw} \cdot x_1} \right) \cdot \left(1 - \frac{1}{1 + \frac{Aw \cdot U}{Bs \cdot Cw} - \frac{Aw \cdot \phi}{Bs \cdot Cw} \cdot x_1} \right)}{Vf_0 - \frac{Sa \cdot Aw \cdot U}{Cw} \cdot t + \frac{Sa \cdot Aw \cdot \phi}{Cw} \cdot x_1 \cdot t - \frac{\frac{Sa \cdot Aw \cdot \phi}{Cw} \cdot x_1 \cdot t}{1 + \frac{Aw \cdot U}{Bs \cdot Cw} - \frac{Aw \cdot \phi}{Bs \cdot Cw} \cdot x_1}} \quad (4.1)$$

$$\frac{dx_2}{dt} = \frac{\left(\frac{Sa \cdot Aw \cdot U}{Cw} - \frac{Sa \cdot Aw \cdot \phi}{Cw} \cdot x_1 + \frac{\frac{Sa \cdot Aw \cdot \phi}{Cw} \cdot x_1}{1 + \frac{Aw \cdot U}{Bs \cdot Cw} - \frac{Aw \cdot \phi}{Bs \cdot Cw} \cdot x_1} \right) \cdot \left(\frac{x_1}{1 + \frac{Aw \cdot U}{Bs \cdot Cw} - \frac{Aw \cdot \phi}{Bs \cdot Cw} \cdot x_1} - x_2 \right)}{Vf_0 \cdot \left(\frac{x_1 - Cf_0}{x_1 - x_2} \right)} \quad (4.2)$$

la fonction de sortie est donnée par :

$$Y = Aw \left(U - \phi \cdot x_1 \left(1 - \frac{Bs \cdot Cw}{Bs \cdot Cw + Aw (U - \phi \cdot x_1)} \right) \right) \quad (4.3)$$

3 Transformation du Modèle Continu vers le Modèle Discret

Nous allons tout d'abord transformer notre modèle continu en un modèle discret. Pour un modèle prédictif, il est nécessaire de passer par cette étape.

Pour transformer ce modèle continu en modèle discret, nous utilisons l'approximation suivante :

$$x_1(k+1) = f_1(x_1(k), u(k)) \quad (4.4)$$

$$x_2(k+1) = f_2(x_1(k), x_2(k), u(k)) \quad (4.5)$$

$$Y(k+1) = h(x(k), u(k)) \quad (4.6)$$

$$(4.7)$$

et pour faire la prédiction on recrit le modèle sous la forme:

$$x_1(k+1) = x_1(k) + T * f_1(x_1(k), u(k)) \quad (4.8)$$

$$x_2(k+1) = x_2(k) + T * f_2(x_1(k), x_2(k), u(k)) \quad (4.9)$$

$$Y(k+1) = Y(k) + T * h(x(k), u(k)) \quad (4.10)$$

$$(4.11)$$

où T est le pas de discrétisation.

Ainsi, notre système d'équations discrètes devient :

$$x_1(k+1) = x_1(k) + T \cdot \frac{\left(\frac{Sa \cdot Aw \cdot U(k)}{Cw} \cdot x_1(k) - \frac{Sa \cdot Aw \cdot \phi}{Cw} \cdot x_1(k)^2 + \frac{\frac{Sa \cdot Aw \cdot \phi}{Cw} \cdot x_1(k)^2}{1 + \frac{Aw \cdot U(k)}{Bs \cdot Cw} - \frac{Aw \cdot \phi}{Bs \cdot Cw} \cdot x_1(k)} \right) \cdot \left(1 - \frac{1}{1 + \frac{Aw \cdot U(k)}{Bs \cdot Cw} - \frac{Aw \cdot \phi}{Bs \cdot Cw} \cdot x_1(k)} \right)}{Vf_0 - \frac{Sa \cdot Aw \cdot U(k)}{Cw} \cdot kT + \frac{Sa \cdot Aw \cdot \phi}{Cw} \cdot x_1(k) \cdot kT - \frac{\frac{Sa \cdot Aw \cdot \phi}{Cw} \cdot x_1(k) \cdot kT}{1 + \frac{Aw \cdot U(k)}{Bs \cdot Cw} - \frac{Aw \cdot \phi}{Bs \cdot Cw} \cdot x_1(k)}} \quad (4.12)$$

$$x_2(k+1) = x_2(k) + T \cdot \frac{\left(\frac{Sa \cdot Aw \cdot U(k)}{Cw} - \frac{Sa \cdot Aw \cdot \phi}{Cw} \cdot x_1(k) + \frac{\frac{Sa \cdot Aw}{Cw} \cdot x_1(k)}{1 + \frac{Aw \cdot U(k)}{Bs \cdot Cw} - \frac{Aw \cdot \phi}{Bs \cdot Cw} \cdot x_1(k)} \right) \cdot \left(\frac{x_1(k)}{1 + \frac{Aw \cdot U(k)}{Bs \cdot Cw} - \frac{Aw \cdot \phi}{Bs \cdot Cw} \cdot x_1(k)} - x_2(k) \right)}{Vf_0 \cdot \left(\frac{x_1(k) - Cf_0}{x_1(k) - x_2(k)} \right)} \quad (4.13)$$

$$y(k+1) = y(k) + T \cdot Aw \left(U(k) - \phi \cdot x_1(k) \left(1 - \frac{Bs \cdot Cw}{Bs \cdot Cw + Aw (U(k) - \phi \cdot x_1(k))} \right) \right) \quad (4.14)$$

4 Formulation a un Problème d'optimization

La commande prédictive optimale est une technique utilisée dans le domaine du contrôle des systèmes dynamiques. Elle consiste à prédire l'évolution future d'un système à partir de son modèle mathématique et à déterminer les actions de contrôle optimales pour atteindre un certain objectif (comme minimiser une erreur ou maximiser une performance) sur un horizon temporel donné. donc il s'agit bien d'un problème d'optimization.

4.1 Résolution du Problème d'Optimisation

À chaque instant de temps, on résout un problème d'optimisation pour déterminer la séquence optimale d'actions de contrôle sur l'horizon de prédiction. Cela peut être formulé comme :

$$\min_{u(t)} J(x(t), u(t))$$

sous les contraintes :

$$\begin{cases} x(t+1) = f(x(t), u(t)) & \text{(dynamique du système)} \\ g(x(t), u(t)) \leq 0 & \text{(contraintes)} \end{cases}$$

où J est la fonction coût, $x(t)$ est l'état du système, et $u(t)$ est le vecteur de contrôle.

notre but pour notre système d'osmose inverse et de garder la sortie (le flux J_w) à un régime (référence) donné et qui reflète un bon rendement pour notre système et la station de dessalement.

Le critère d'optimisation pour notre modèle prédictif est de minimiser la somme des carrés des erreurs entre la sortie prédite et une référence souhaitée. La fonction d'objectif est définie comme suit :

La fonction d'objectif globale est :

$$J = \sum_{k=0}^N (y(k) - y_{\text{ref}})^2 \quad (4.15)$$

où : - J est la fonction d'objectif à minimiser.

- $y(k)$ est la sortie prédite du système au temps k .

- y_{ref} est la valeur de référence constante que l'on souhaite atteindre.

- N est l'horizon de prédiction.

La sortie $y(k)$ à chaque instant k est définie par l'expression suivante :

$$y(k+1) = y(k) + T \cdot A_w \left(U(k) - \phi \cdot x_1(k) \left(1 - \frac{B_s \cdot C_w}{B_s \cdot C_w + A_w (U(k) - \phi \cdot x_1(k))} \right) \right) \quad (4.16)$$

En réécrivant $y(k)$ dans la fonction d'objectif, nous avons :

$$J = \sum_{k=0}^N (y(k) - y_{\text{ref}})^2 \quad (4.17)$$

En substituant $y(k)$ par l'expression définie :

$$J = \sum_{k=0}^N \left[y(k) + T \cdot A_w \left(U(k) - \phi \cdot x_1(k) \left(1 - \frac{B_s \cdot C_w}{B_s \cdot C_w + A_w (U(k) - \phi \cdot x_1(k))} \right) \right) - y_{\text{ref}} \right]^2 \quad (4.18)$$

Cela permet de minimiser l'écart entre la sortie prédite $y(k)$ et la valeur de référence y_{ref} en fonction de la commande $U(k)$ et de l'état $x_1(k)$ à chaque instant k , sur l'horizon de prédiction.

contraintes:

Les contraintes sur la commande U et sur les états x_1 (concentration d'alimentation) et x_2 (concentration du perméat) peuvent être formulées comme suit :

- **Contrainte sur la commande U :**

$$g_1(U(k)) = \begin{cases} U(k) - 2 \cdot 10^{13} \geq 0 \\ 6 \cdot 10^{13} - U(k) \geq 0 \end{cases}$$

- **Contrainte sur l'état x_2 (concentration du perméat) :**

$$g_2(x_2(k)) = \begin{cases} x_2(k) \geq 0 \\ 0.2 - x_2(k) \geq 0 \end{cases}$$

- **Contrainte sur l'état x_1 (concentration d'alimentation) :**

$$g_3(x_1(k)) = \begin{cases} x_1(k) \geq 0 \\ 35 - x_1(k) \geq 0 \end{cases}$$

Ces contraintes peuvent être combinées dans une formulation compacte comme suit :

$$g(x(t), u(t)) \leq 0$$

Où :

$$g(x(t), u(t)) = \begin{cases} 2 \cdot 10^{13} - U(t) \\ U(t) - 6 \cdot 10^{13} \\ -x_2(t) \\ x_2(t) - 0.2 \\ -x_1(t) \\ x_1(t) - 35 \end{cases}$$

Ces contraintes sont intégrées dans le problème d'optimisation pour garantir que les solutions respectent les limites de commande et d'état.

5 Résolution du Problème d'Optimisation avec CasADi

5.1 Définition de l'Horizon de Temps et des Constantes

- Horizon de temps : $T = 200$ heures, $N = 400$ intervalles de contrôle.
- Constantes du système :
 - $Vf_0 = 1.5$: Débit de fluide initial.
 - $Cw = 1.0 \times 10^3$: Concentration du perméat.
 - $Sa = 0.181$: Surface de membrane.
 - $Aw = 4.20 \times 10^{-13}$: Paramètre de perméabilité.
 - $Bs = 1.12 \times 10^{-4}$: Constante de rétention.
 - $\phi = 1.02 \times 10^{12}$: Coefficient de proportionnalité.
 - $Cf_0 = 2$: Concentration initiale d'alimentation.

5.2 Définition des Variables Symboliques

- États :
 - $X1$: Concentration d'alimentation.
 - $X2$: Concentration du perméat.
- Commande :
 - U : Commande, c'est la variable de décision (la différence de pression hydraulique).

5.3 Équations Différentielles du Système

Les équations différentielles pour les états X_1 et X_2

$$X_1(k+1)$$

$$X_2(k+1)$$

comme elles sont définies ci-dessus.

5.4 Équation de Sortie

La fonction de la sortie Y à chaque instant k est définie comme :

$$Y(k) = X_1(k) + T \cdot A_w \left(U(k) - \phi \cdot X_1(k) \left(1 - \frac{B_s \cdot C_w}{B_s \cdot C_w + A_w (U(k) - \phi \cdot X_1(k))} \right) \right) \quad (4.19)$$

5.5 Conditions Initiales

- $X_{10} = 2$: Concentration initiale d'alimentation.
- $X_{20} = 0$: Concentration initiale du perméat.
- $U_0 = 4.2 \times 10^{13}$: Commande initiale.

5.6 Formulation du Problème NLP

- Initialisation des variables d'optimisation :
 - w : Variable d'optimisation et qui représente U dans notre problème.
 - w_0 : Valeurs initiales des variables d'optimisation.
 - lbw : Bornes inférieures des variables.
 - ubw : Bornes supérieures des variables.
- Ajout des contrôles :
 - Pour chaque intervalle k , définir U_k et intégrer les équations différentielles pour les états X_1 et X_2 .
- Contraintes d'Égalité :

$$g = \{X_{1_{k+1}} - X_{1_k}, X_{2_{k+1}} - X_{2_k}\}$$

Ces contraintes assurent que les états au prochain intervalle de contrôle respectent les équations différentielles du modèle.

- Terme de l'Objectif :

$$J = \sum_{k=0}^N (Y_k - Y_{rfr})^2 \quad (4.20)$$

où r_{fr} est la valeur de référence que l'on souhaite atteindre.

5.7 Création du Solveur NLP

- Configuration des options du solveur avec IPOPT :
 - ****Maximiser la performance**** : Réglages de tolérance pour la convergence, nombre maximal d'itérations, etc.
 - ****Tolérances**** : Tolérance sur les variables de décision, les contraintes et la convergence des solutions.
 - ****Options de l'algorithme**** : Choix de la méthode de résolution, options pour le calcul des dérivées.

5.8 Résolution du NLP

- Appel au solveur IPOPT avec les conditions initiales et les bornes spécifiées pour obtenir la solution optimale :
 - ****IPOPT (Interior Point OPTimizer)**** est un solveur pour les problèmes de programmation non linéaire (NLP). Il utilise des méthodes de points intérieurs pour trouver des solutions optimales.
 - ****Paramètres clés d'IPOPT**** :
 - * ****Tolérance de Convergence**** : Détermine la précision nécessaire pour considérer une solution comme convergente.
 - * ****Maximal Iterations**** : Le nombre maximum d'itérations que l'algorithme effectuera avant d'arrêter.
 - * ****Dérivées**** : Options pour l'estimation des dérivées et le calcul automatique des gradients.
- Le solveur IPOPT est utilisé pour minimiser la fonction d'objectif tout en respectant les contraintes d'égalité et d'inégalité définies.

5.9 Extraction des Résultats

- Récupération des états optimaux : $X1_{opt}$, $X2_{opt}$ et de la commande U_{opt} .
- Calcul de la sortie Y_{opt} basée sur la solution optimale.

5.10 Visualisation des Résultats

- Tracé des trajectoires des états $X1$ et $X2$, de la commande U , et de la sortie Y , ainsi que l'erreur entre la sortie prédite et la référence.

5.10.1 la sortie prédite

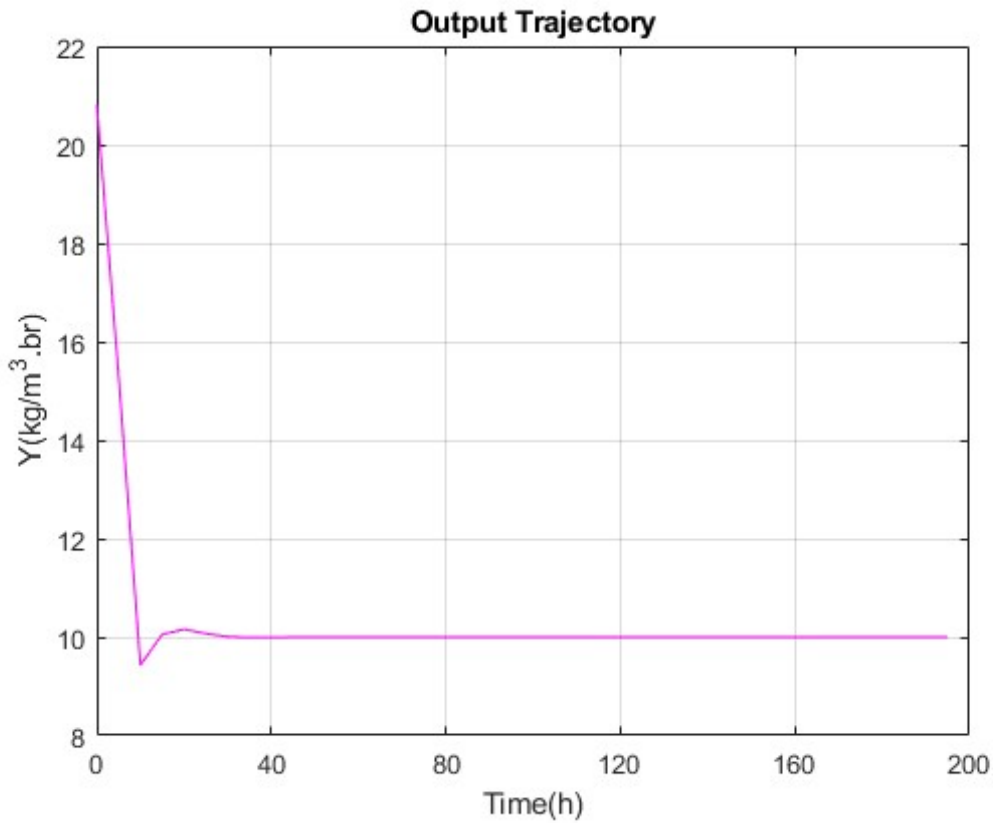
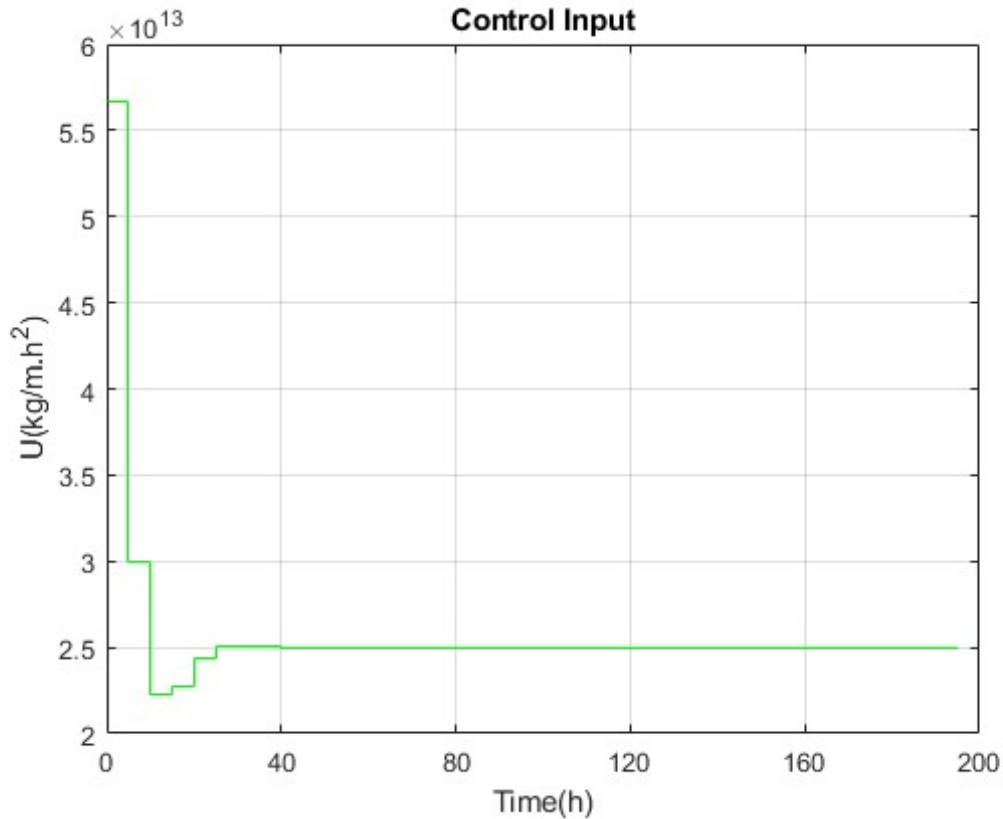


Figure 4.1: la sortie optimale Y_{opt}

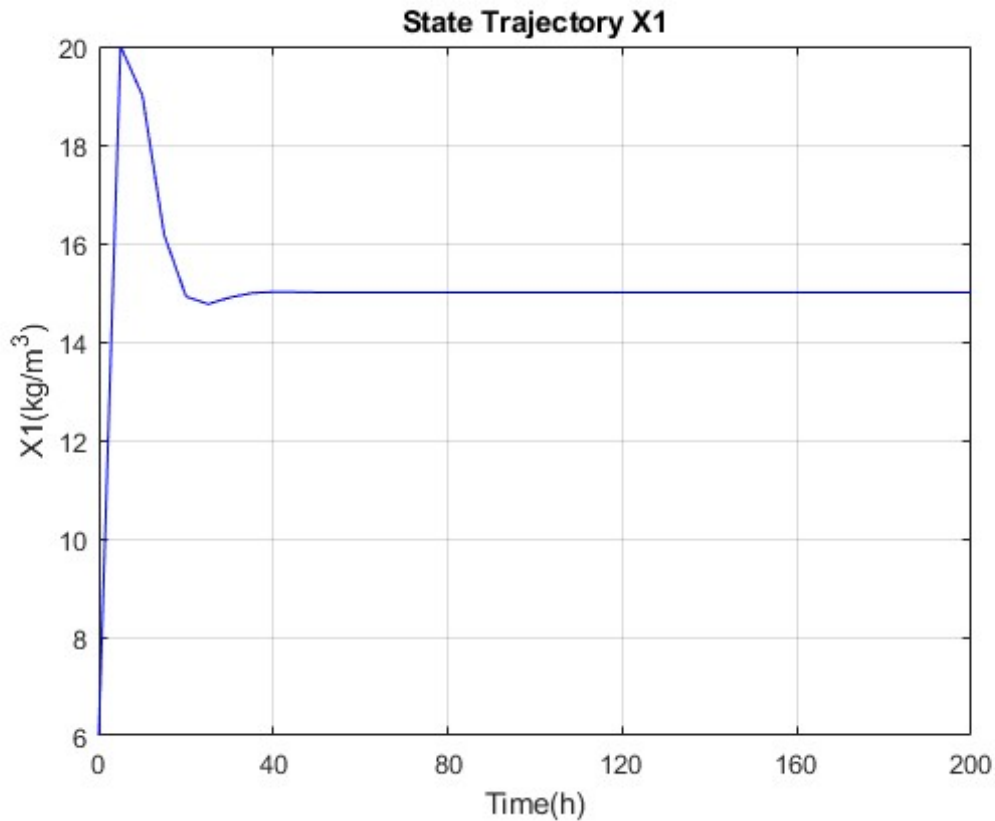
Cette courbe montre comment la sortie du système se comporte au fil du temps en suivant la référence spécifiée (la valeur 10).

La trajectoire de la sortie optimale Y_{opt} montre une convergence rapide vers la référence Y_{ref} ($10 \text{ kg/m}^3 \cdot \text{br}$). On observe que la sortie dépasse légèrement la référence aux alentours de $t = 12$ heures. Cependant, la sortie revient rapidement et atteint l'objectif à environ $t = 30$ heures. Cette réponse montre l'efficacité de la stratégie de contrôle pour stabiliser la sortie autour de la référence souhaitée.

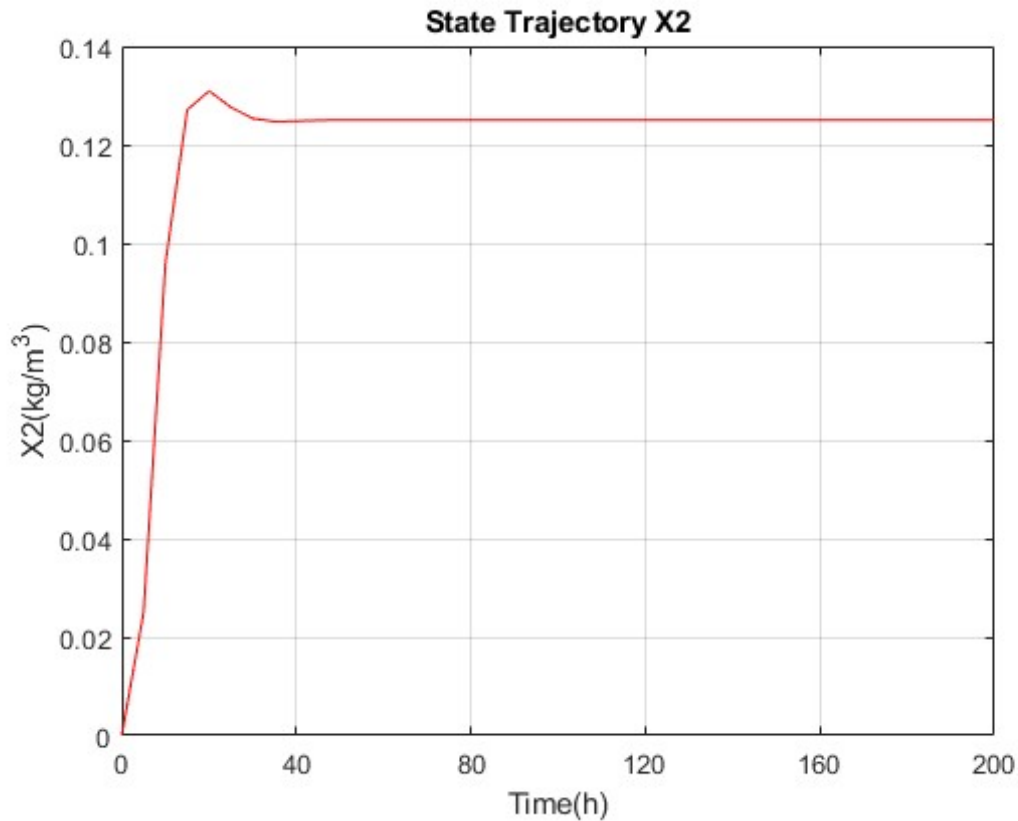
5.10.2 l'entrée prédite(optimale)

Figure 4.2: l'entrée optimale U_{opt}

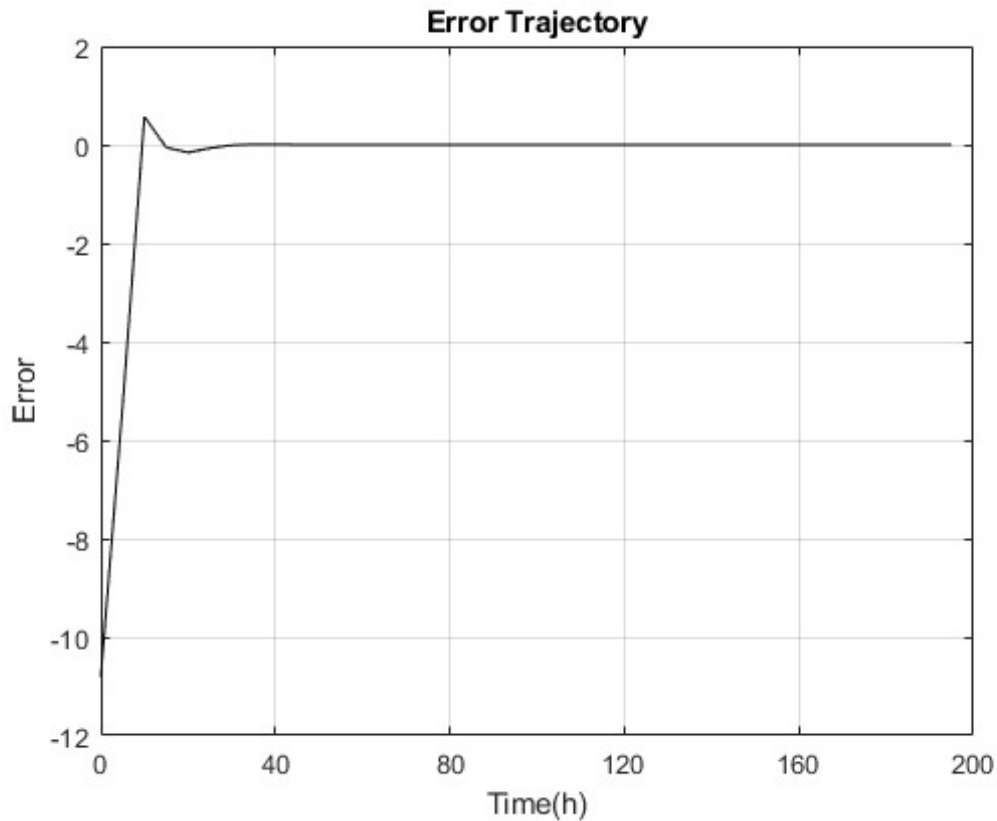
L'entrée de contrôle optimale U_{opt} est représentée par une séquence discrète de valeurs. On remarque que l'entrée est ajustée de manière dynamique pour maintenir la sortie proche de la référence. Au début, l'entrée atteint une valeur maximale de $5.7 \times 10^{13} \text{ kg/m}\cdot\text{h}^2$ pour compenser l'écart avec la référence. Après ce pic, l'entrée diminue rapidement à $3 \times 10^{13} \text{ kg/m}\cdot\text{h}^2$. Après un peu de variation, elle se stabilise à la valeur de $2.5 \times 10^{13} \text{ kg/m}\cdot\text{h}^2$ pour mettre la sortie à la référence à $t = 30$ heures, ce qui montre une bonne gestion des variations.

5.10.3 la trajectoire de l'état x_1 Figure 4.3: l'état x_1

La trajectoire de l'état x_1 illustre l'évolution de la concentration d'alimentation dans le réservoir. On observe que x_1 reste relativement stable autour de la valeur de 15 kg/m^3 , avec de légères variations dues aux ajustements de l'entrée de contrôle. Cette stabilité est cruciale pour maintenir la concentration à un niveau optimal tout au long de l'horizon de temps.

5.10.4 la trajectoire de l'état x_2 Figure 4.4: l'état x_2

La trajectoire de l'état x_2 montre la concentration du perméat au fil du temps. On constate que x_2 reste bien confinée dans la plage désirée de 0 à 0.2 kg/m^3 , ou elle se stabilise à la valeur de 0.125 kg/m^3 indiquant une bonne régulation de la concentration. Cette gestion efficace de x_2 est essentielle pour maintenir la qualité du perméat et éviter tout dépassement des limites critiques.

5.10.5 L'erreur entre la sortie optimale Y_{opt} et la référence Y_{rfr} Figure 4.5: l'erreur entre Y_{opt} et Y_{rfr}

L'erreur au carré entre la sortie optimale Y_{opt} et la référence $Y_{rfr} = (10 \text{ kg/m}^3 \cdot \text{br})$. est tracée ci-dessus. On observe que cette erreur reste très faible, confirmant la précision de la réponse du système. L'erreur atteint un pic minimal autour de ($t=20$ heures), avant de se réduire rapidement à 0.01 à ($t=40$ heures), et continue de réduire jusqu'à zéro, indiquant une convergence efficace de la sortie vers la référence.

6 Performance et Robustesse

Pour tester la performance et la robustesse de cette commande sur notre système d'osmose inverse, nous allons appliquer la commande MPC avec une variation des paramètres du modèle. Cette variation de paramètres elle sera pas aléatoire, mais elle sera liée à un problème majeur dans les caractéristiques de la membrane : le problème d'encrassement.

6.1 L'encrassement des membranes

L'encrassement des membranes est un processus qui se produit lorsque des contaminants, tels que des minéraux, des matières organiques et des micro-organismes, s'accumulent à la surface de la membrane RO, diminuant ainsi sa capacité à purifier efficacement l'eau. Cela peut se produire en raison de différents facteurs tels que le tartre, le bio-encrassement, l'encrassement particulaire et l'encrassement chimique. L'accumulation de ces impuretés entraîne une diminution du débit d'eau, une augmentation des chutes de pression et une diminution de la qualité de l'eau. Il est important de nettoyer et de maintenir régulièrement la membrane RO pour prévenir l'encrassement et maintenir son efficacité dans le filtrage de l'eau. L'encrassement se produit lorsque des sels solubles précipitent, adsorbent, forment un gâteau ou un gel, ou obstruent les pores de la membrane.

L'encrassement des membranes a été un problème constant dans les opérations de membranes, réduisant l'efficacité des installations et augmentant les coûts de maintenance depuis le développement initial de l'industrie des membranes. La modélisation et la simulation pour anticiper l'encrassement dans les systèmes RO ont fait l'objet de plusieurs recherches, car cela permettrait de mettre en œuvre des mesures diagnostiques et préventives, réduisant ainsi les impacts de l'encrassement.

La formation de tartre dans les systèmes de nanofiltration (NF) et d'osmose inverse (RO) peut être modélisée théoriquement en se basant sur la cinétique de cristallisation et le modèle de résistance en série. Si aucun encrassement ne se produit, le flux initial de l'eau à travers une membrane de nanofiltration peut être donné par la formule suivante :

$$J_w = \frac{\Delta P - \pi}{\eta R_m} \quad (4.21)$$

- J_w est le flux d'eau à travers la membrane (en $\text{m}^3/\text{m}^2 \cdot \text{h}$). ΔP est la pression appliquée à travers la membrane (en Pa ou bar). π est la pression osmotique de la solution d'alimentation (en Pa ou bar). η est la viscosité du perméat (en Pa·s ou mPa·s). R_m est la résistance de la membrane (en m^{-1}).

La formation de tartre est un processus complexe impliquant à la fois des mécanismes de cristallisation et de transport hydrodynamique. Deux voies de cristallisation ont été identifiées : la cristallisation de surface (hétérogène) et la cristallisation en masse (homogène). Dans le mécanisme de formation de la couche de gâteau, les particules de cristaux formées dans la phase liquide par cristallisation en masse (homogène) ou par

cristallisation secondaire se déposent pour former une couche de précipités sur la membrane. En conséquence, la diminution du flux se manifeste par l'accumulation de la couche de précipités poreux et peut être décrite comme suit, [16] :

$$J_c = \frac{\Delta p - \pi}{\eta(R_m + R_c)} \quad (4.22)$$

Où J_c est le flux de perméat estimé à partir du modèle de filtration de cake et R_c est la résistance due à la formation de la couche de cake. R_c peut être calculé en utilisant la théorie de la filtration et l'équation suivante :

$$R_c = \frac{\alpha A_c}{A_t} \quad (4.23)$$

où, α est la résistance spécifique de la couche de cake par unité de poids de cake, A_c est le poids total accumulé de la précipitation de tartre et A_t est la surface totale de la membrane.

D'autre part, la formation de tartre peut également se produire en raison de la cristallisation de surface sur la membrane par le mécanisme de blocage de surface, et ainsi la surface de la membrane serait obstruée par la croissance latérale des cristaux. En supposant que les zones occupées par les cristaux sont complètement imperméables, le flux en l'absence de formation de cake peut être exprimé comme suit :

$$J_s = \frac{\Delta p - \pi}{\eta R_m} \times \frac{A_{\text{free}}}{A_t} = \frac{\Delta p - \pi}{\eta R_m} \times \left(\frac{A_t - A_b}{A_t} \right) \quad (4.24)$$

où J_s est estimé à partir du modèle de blocage de surface, A_t est la surface totale de la membrane, A_b est la surface de la membrane occupée par les cristaux de surface et $(A_t - A_b)$, A_{free} est la surface libre de la membrane, non couverte par les cristaux de surface. Si l'épaisseur de la couche de cristaux formée sur la surface de la membrane est constante, A_b peut être définie comme [10] :

$$A_b = \beta m_s \quad (4.25)$$

où, β est la surface occupée par unité de masse et m_s est le poids de la couche de tartre formée directement sur la surface de la membrane.

À des rendements de fonctionnement élevés, lorsque la phase bulk devient sursaturée, la formation de cake et le blocage de surface peuvent se produire simultanément, et le flux de perméat résultant peut être représenté comme indiqué ci-dessous :

$$J_t = \frac{\Delta p - \pi}{\eta(R_m + R_c)} \cdot \frac{A_t - A_b}{A_t} \quad (4.26)$$

où J_t est le flux de perméat estimé par la combinaison des modèles de filtration de cake et de blocage de surface. Une façon d'interpréter l'impact de l'encrassement sur une membrane d'osmose inverse (RO) est comme une augmentation de la résistance totale de la membrane (R_T) ou une diminution du coefficient de perméabilité à l'eau (A). Une approche pour quantifier l'encrassement de la membrane RO consiste à déterminer le facteur d'encrassement qui réduit A .

$$A = A_0 \cdot FF \quad (4.27)$$

L'équation ci-dessus représente A_0 comme la perméabilité initiale de l'eau de la membrane et FF comme le facteur d'encrassement.

Wilf et Klinko [25] ont créé un modèle (équation (64)) pour prévoir le déclin du flux de perméat tout au long de l'opération prolongée. Ils ont vérifié et défini le modèle à l'aide de résultats expérimentaux provenant de nombreuses installations de dessalement SWRO collectés pendant trois ans. Les mesures ont montré une diminution de 20 à 25 % du flux de perméat.

$$A_n = t^m \quad (4.28)$$

où A_n est le coefficient de perméabilité moyenne de l'eau normalisé par rapport à $A_n = \frac{A}{A_0}$, t est la période de temps, et m est le paramètre corrélatif avec une valeur comprise entre -0.035 et -0.041.

Abbas et Al-Bastaki [5] ont créé un modèle de ce type sous forme de fonction exponentielle dépendant de trois facteurs et du temps. Une installation de dessalement BWRO équipée d'une membrane RO BW30-400 Filmtec™ a été utilisée pour tester leur théorie. Cinq ans de données expérimentales ont été utilisées pour déterminer le modèle. Le paramètre de fonctionnement, la concentration en eau d'alimentation, a été ajusté de 2540 mg/L à 2870 mg/L. Une pression d'alimentation en eau de 1,2 MPa et une plage de température de 28 à 30 °C ont été utilisées.

$$A_n = \alpha \cdot e^{\beta t + \gamma} \quad (4.29)$$

où les trois paramètres α , β et γ sont corrélés, avec les valeurs de 0.68, 79 et 201.1 déterminées pour les paramètres.

Lee et al. [15] ont démêlé le rôle joué par la couche de cake de celui du tartre qui réduit la surface de la membrane. Ce concept a été d'abord développé pour les membranes NF ; cependant, il est facilement transférable aux membranes RO. En tenant compte de ces facteurs, on peut calculer le flux de perméat en utilisant l'équation (66) :

$$J = A_0 \cdot FF \cdot TMP \cdot \frac{S_t - S_b}{S_t} \quad (4.30)$$

où S_t est la surface totale de la membrane, S_b est la surface de la membrane occupée par le tartre inorganique, et J est le flux de perméat de la membrane par unité de surface. Chen et al. [9] ont développé le paramètre de potentiel d'encrassement (k_{fp}) (après l'étape de prétraitement). Pour estimer ce paramètre, on peut utiliser l'équation (67) :

$$k_{fp} = R_m(x, t) - R_{m0} \int_0^t v(x, \tau) d\tau \quad (4.31)$$

où $R_m(x, t)$ est la résistance de la membrane et est une fonction de la position x (emplacement à l'intérieur du réservoir à pression) et du temps t , R_{m0} est la résistance de membrane de départ (ou propre), et τ est une variable d'intégration fictive.

Étant donné la difficulté de collecter des données à x dans une usine de dessalement commerciale, les données expérimentales sont généralement recueillies aux entrées et sorties des réservoirs à pression, ce qui rend impossible la validation expérimentale des estimations du développement des paramètres opérationnels à l'intérieur des réservoirs à pression. Un modèle, donné par Ruiz-García et Nuez [21], a distingué entre deux phases de diminution du coefficient 'A'. Une diminution plus marquée de k_{fp} a été observée dans la phase I, qui était associée à la compaction de la membrane et à l'encrassement irréversible (films fortement adhérents). La phase II était associée à un déclin lent dû à l'encrassement permanent, à la fréquence et à l'efficacité du nettoyage chimique (CC). Le modèle suggéré utilisait la superposition de deux fonctions exponentielles pour expliquer les phases (équation (68)) :

$$A_n = \delta_1 \cdot e^{-\frac{t}{\tau_1 k_{fp}}} + \delta_2 \cdot e^{-\frac{t}{\tau_2 k_{fp}}} \quad (4.32)$$

les paramètres δ_1 et τ_1 sont liés au premier terme, et les paramètres δ_2 et τ_2 sont liés au second terme.

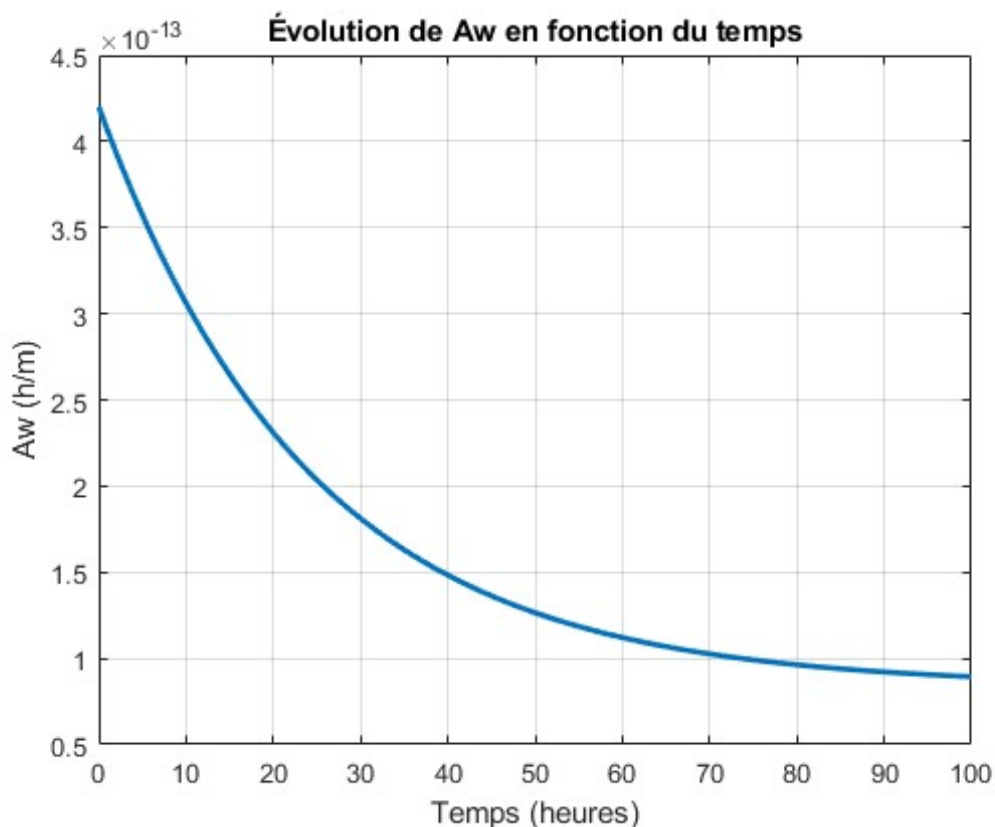


Figure 4.6: Évolution de Aw en fonction du temps

Nous observons que, au temps initial ($t = 0$ heures), $A_w = A_w0 = 4.2 \cdot 10^{-13}$ (h/m). Au fil du temps, A_w diminue et converge lentement vers une valeur d'environ $0.7 \cdot 10^{-13}$ (h/m) après 100 heures.

6.2 MPC avec la variation de A_w

Avec cette variation du paramètre A_w , nous allons observer la réaction de notre contrôleur prédictif (MPC) et analyser comment le signal de commande ainsi que les états du système évoluent en conséquence.

6.2.1 la sortie J_w

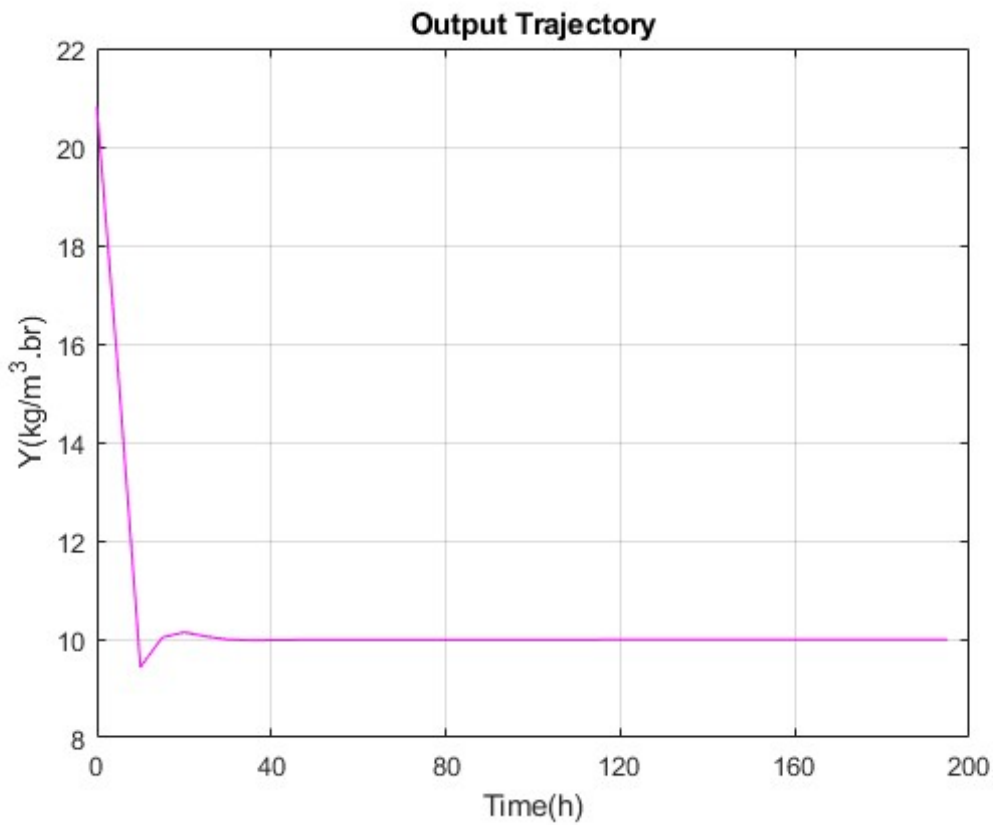
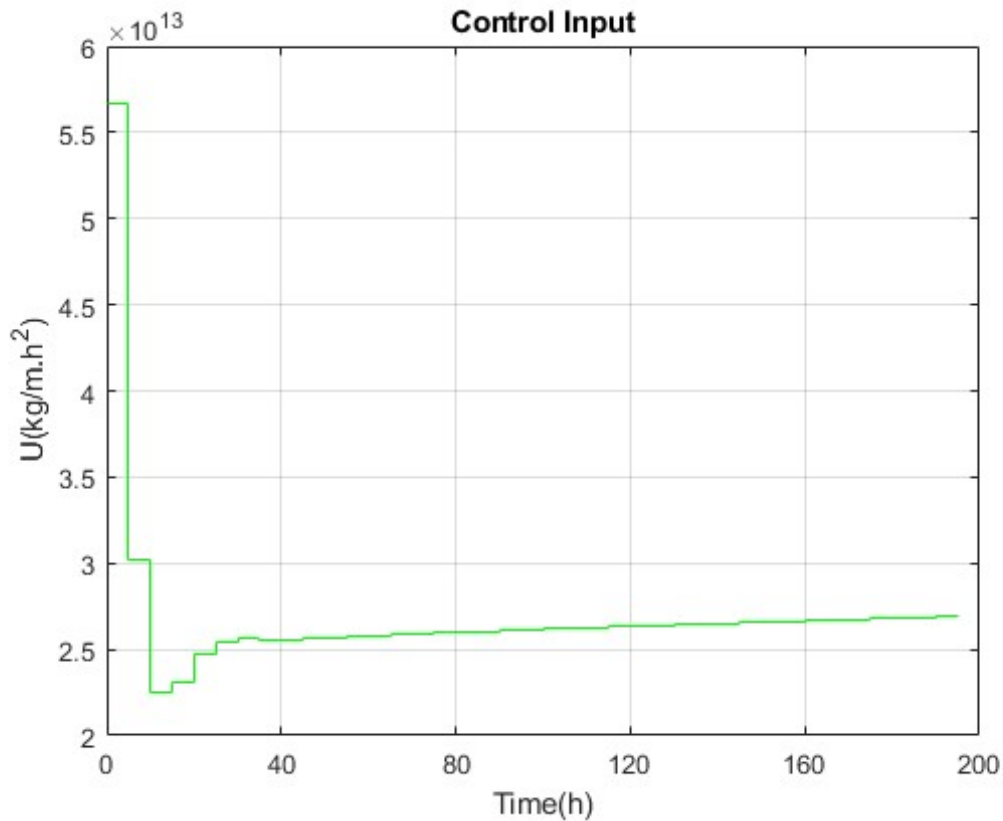


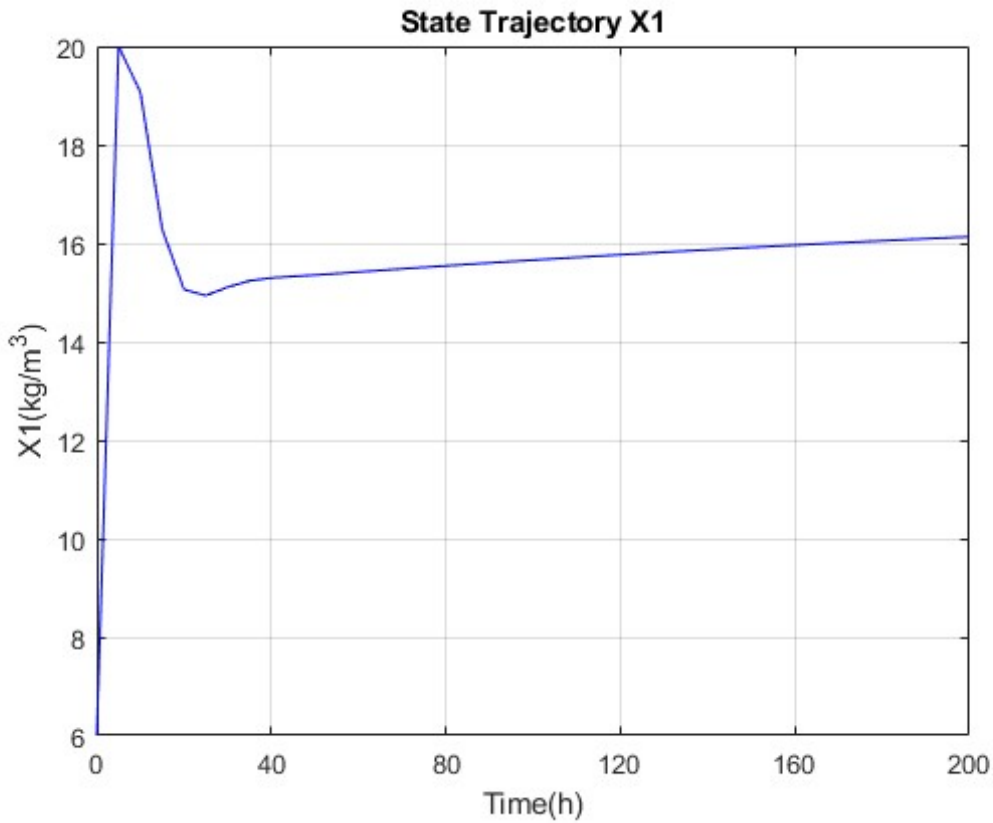
Figure 4.7: la sortie optimale Y_{opt}

Nous remarquons clairement que la sortie suit la référence ($10 \text{ kg/m}^3 \cdot \text{br}$), ce qui prouve la robustesse de la commande prédictive optimale. Malgré la variation du paramètre A_w , la poursuite de la référence est maintenue.

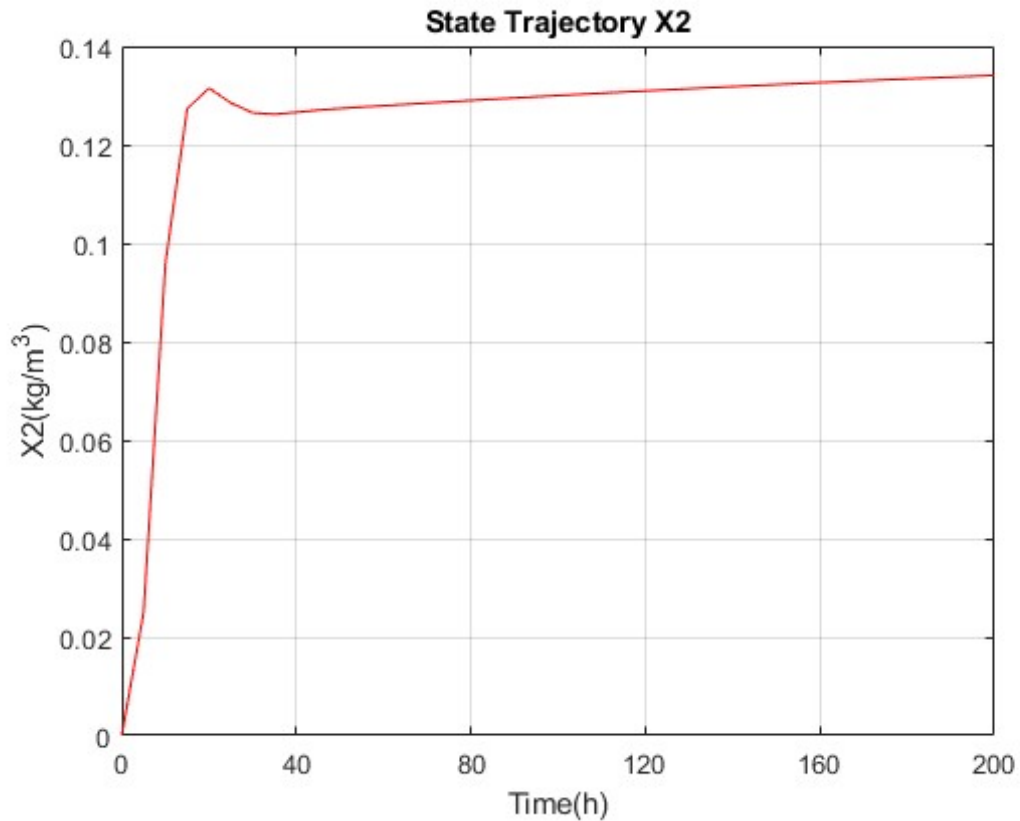
6.2.2 l'entrée optimale

Figure 4.8: l'entrée optimale U_{opt}

Nous remarquons que la différence entre le signal de commande avec cette variation dans A_w et celui d'avant (sans variation) réside dans le fait que U_{opt} cette fois ne se stabilise pas à la valeur de 2.5×10^{13} kg/m · h², mais augmente légèrement. Cela est logique puisque, pour maintenir le flux J_w à la valeur de référence désirée et avec une dégradation des paramètres de la membrane, la pression doit être augmentée.

6.2.3 la trajectoire de l'état x_1 Figure 4.9: l'état x_1

Nous remarquons aussi que x_1 (La concentration d'alimentation) augmente légèrement par rapport à la valeur de stabilisation précédente (15 kg/m^3). Cette variation est due à celle de U_{opt} , avec une variation seulement de 1.3 kg/m^3 pendant 160 heures.

6.2.4 la trajectoire de l'état x_2 Figure 4.10: l'état x_2

même chose pour x_2 (la concentration moyenne du Perméat) nous remarquons aussi qu'elle augmente légèrement par rapport à la valeur de stabilisation précédente (0.125 kg/m^3). une variation aussi très légère de 0.02 kg/m^3 pendant 160 heures.

7 conclusion

Ce chapitre a présenté l'application de la commande prédictive optimale (MPC) sur un système d'osmose inverse. Les étapes clés incluent la modélisation non linéaire du système, la transformation en un modèle discret, et la formulation d'un problème d'optimisation résolu à l'aide de CasADi et du solveur Ipopt. Les simulations ont permis de démontrer l'efficacité de la stratégie de contrôle pour stabiliser la sortie J_w autour d'une référence souhaitée, tout en respectant les contraintes imposées sur les variables du système.

Les résultats montrent que la commande prédictive optimale peut ajuster efficacement l'entrée U (dp) pour compenser les écarts et maintenir les états x_1 et x_2 dans des plages désirées, garantissant ainsi un bon rendement et une qualité stable du perméat. Les trajectoires de sortie, d'entrée, et des états indiquent une convergence rapide vers les valeurs cibles, avec une erreur minimale entre la sortie prédite et la référence.

De plus, la robustesse du contrôleur a été testée en tenant compte des effets d'encrassement des membranes, un problème courant dans les systèmes d'osmose inverse. Les résultats ont montré que le contrôleur MPC pouvait s'adapter aux variations des paramètres du modèle causées par l'encrassement, maintenant ainsi la performance du système.

En conclusion, la commande prédictive optimale s'est avérée être une technique efficace pour le contrôle de systèmes d'osmose inverse, capable de gérer des dynamiques complexes et de garantir des performances robustes même en présence de perturbations telles que l'encrassement des membranes. Cette méthode offre des perspectives prometteuses pour l'amélioration et l'optimisation des systèmes de dessalement et de traitement de l'eau, contribuant ainsi à une gestion plus efficace des ressources en eau.

Conclusion Générale

Conclusion Générale

En conclusion de ce mémoire, nous avons exploré de manière approfondie deux aspects essentiels de la station de dessalement par osmose inverse : la modélisation du procédé et l'application de la commande prédictive optimale (MPC).

Tout d'abord, nous avons développé une compréhension détaillée des mécanismes de l'osmose inverse en modélisant le processus. Les équations fondamentales régissant le flux de solvant et de soluté à travers la membrane ont été examinées, ainsi que les concepts clés tels que le rejet de la membrane, le taux de récupération, et les bilans de matière. En utilisant ces modèles mathématiques, nous avons pu créer des équations différentielles décrivant la variation des concentrations au fil du temps et réaliser des simulations illustrant l'évolution des performances du système.

Ensuite, nous avons appliqué la commande prédictive optimale pour améliorer le contrôle du système d'osmose inverse. Cette stratégie de contrôle avancée permet de stabiliser efficacement la sortie du système autour d'une référence souhaitée tout en respectant les contraintes imposées sur les variables du système. Les simulations ont démontré que la MPC pouvait ajuster efficacement les entrées pour maintenir les états du système dans des plages optimales, garantissant ainsi un bon rendement et une qualité stable du perméat.

Enfin, nous avons évalué la robustesse du contrôleur face aux perturbations, notamment l'encrassement des membranes, un problème courant dans les systèmes d'osmose inverse. Les résultats ont montré que la MPC pouvait s'adapter aux variations des paramètres du modèle causées par l'encrassement, maintenant ainsi la performance du système.

En synthèse, ce travail a permis de combiner avec succès la modélisation détaillée du processus de dessalement par osmose inverse avec une stratégie de contrôle avancée basée sur la commande prédictive optimale. Cette approche intégrée non seulement améliore l'efficacité opérationnelle et la qualité du perméat, mais elle offre également une résilience accrue face aux variations et aux perturbations courantes dans les systèmes de dessalement. Ces résultats ouvrent la voie à des applications pratiques prometteuses pour une gestion plus efficace et durable des ressources en eau, contribuant ainsi à répondre aux défis globaux de la disponibilité de l'eau douce.

Bibliographie

- [1] Procédés de dessalement. <https://th.bing.com/th/id/R.f72a099a82f98831186b3858217bb97a?rik=4zzNUdcU%2bkViZA&pid=ImgRaw&r=0>, 2024. Accessed: 2024-07-08.
- [2] Schéma du procédé d'osmose inverse (ro). <https://www.researchgate.net/profile/Paul-Byrne-19/publication/281418361/figure/fig3/AS:900484529418240@1591703650001/15-Principe-de-losmose-inverse.png>, 2024. Accessed: 2024-07-08.
- [3] Schéma du procédé d'électrodialyse (ed). <https://th.bing.com/th/id/R.8774f9a1db10c1659f39ec6e59b44b47?rik=rojTJqNqjdC2KQ&pid=ImgRaw&r=0>, 2024. Accessed: 2024-07-08.
- [4] Schéma pour la distillation à effet multiple (med). <https://th.bing.com/th/id/OIP.4JRsSv6agj4Bsnfc4yo3yQHaE7?rs=1&pid=ImgDetMain>, 2024. Accessed: 2024-07-08.
- [5] A. Abbas and N. Al-Bastaki. Performance decline in brackish water film tec spiral wound ro membranes. *Desalination*, 136(1–3):281–286, May 2001.
- [6] Ghassan Abu-Lebdeh et al. Optimal operation of combined heat and power systems under real-time pricing of electricity with a model predictive control approach. *Energies*, 16(9), 2023. Figure 6: Schéma explicatif des principes de base de la MPC.
- [7] S.E. Aly. Combined ro/vc desalination system. *Desalination*, 58(2):85–97, 1986.
- [8] Michael Brown. Thermal desalination processes. *Journal of Desalination*, 220(1-3):225–233, 2008.
- [9] K.L. Chen, L. Song, S.L. Ong, and W.J. Ng. The development of membrane fouling in full-scale ro processes. *J. Membr. Sci.*, 232(1–2):63–72, March 2004.
- [10] J. Gilron and D. Hasson. Calcium sulphate fouling of reverse osmosis membranes: flux decline mechanism. *Chem. Eng. Sci.*, 42(10):2351–2360, January 1987.
- [11] K. Jamal, M.A. Khan, and M. Kamil. Mathematical modeling of reverse osmosis systems. *Desalination*, 160(1):29–42, 2004.
- [12] David Johnson and Peter Brown. *Membrane Technologies for Water Treatment*. Wiley, 2014.

- [13] G. Jonsson. Overview of theories for water and solute transport in9 uf/ro membranes. *Desalination*, 35:21–38, 1980.
- [14] Daniel Lee. Thermal desalination methods and their applications. *International Journal of Desalination*, 45(2):123–145, 2017.
- [15] S. Lee, J. Kim, and C.H. Lee. Analysis of caso4 scale formation mechanism in various nanofiltration modules. *J. Membr. Sci.*, 163(1):63–74, October 1999.
- [16] A.G. Pervov. Scale formation prognosis and cleaning procedure schedules in reverse osmosis systems operation. *Desalination*, 83(1–3):77–118, September 1991.
- [17] S Joe Qin and Thomas A Badgwell. A survey of industrial model predictive control technology. *Control Engineering Practice*, 11(7):733–764, 2003.
- [18] Hesamoddin Rabiee, Kaveh Rajab Khalilpour, John M. Betts, and Nigel Tapper. Chapter 13 - energy-water nexus: Renewable-integrated hybridized desalination systems. In Kaveh Rajab Khalilpour, editor, *Polygeneration with Polystorage for Chemical and Energy Hubs*, pages 409–458. Academic Press, 2019.
- [19] J. B. Rawlings and D. Q. Mayne. *Model Predictive Control: Theory and Design*. Nob Hill Publishing, Madison, WI, USA, 2009.
- [20] John Roberts and Alice Smith. *Desalination: A National Perspective*. National Academy Press, 2010.
- [21] A. Ruiz-García and I. Nuez. Long-term performance decline in a brackish water reverse osmosis desalination plant. predictive model for the water permeability coefficient. *Desalination*, 397:101–107, November 2016.
- [22] John Smith and Jane Doe. *Desalination: A National Perspective*. National Academies Press, 2018.
- [23] Jacobus Henricus van’t Hoff. The role of osmotic pressure in the analogy between solutions and gases. *Journal of Membrane Science*, 100(1):39–44, 1995. The early history of membrane science selected papers celebrating vol. 100.
- [24] James Watson. Energy efficiency in desalination plants. Technical report, International Desalination Association, 2009.
- [25] M. Wilf and K. Klinko. Performance of commercial seawater membranes. *Desalination*, 96(1–3):465–478, June 1994.